

GROUPE E

LUCAS CARPENTIER, JULIE MENARD

27 OCTOBRE 2024

# INTRODUCTION À LA MÉTHODE DES DIFFÉRENCES FINIES

**Professeur encadrant :**  
Mehmet ERSOY



## Résumé

La méthode des différences finies pour la résolution des équations différentielles est souvent sollicitée dans de nombreux problèmes de physiques ou de mathématiques. Celle-ci consiste à discrétiser l'espace continu en une grille de points et ensuite, à approcher les valeurs des dérivées de la fonction dont on souhaite trouver la valeur par des différences finies calculées à partir des valeurs de la fonction aux points voisins. En utilisant cette approximation, il est alors possible de transformer une équation différentielle en un système d'équations linéaires qui pourra être résolu numériquement avec certains langages de calcul tel que Fortran 77 afin d'obtenir des solutions approximatives de l'équation différentielle. Cette méthode est très utile pour résoudre des problèmes complexes qui n'ont pas de solution analytique exacte. Cependant la méthode des différences finies possède ses limites. Elle peut par exemple devenir très coûteuse en termes de temps de calcul pour une discrétisation très fine. Par ailleurs, des erreurs d'arrondis numériques vont fausser les résultats obtenus. La méthode est aussi sensible aux conditions aux limites, donc l'utilisation de technique annexe peut alors devenir nécessaire afin de garder la précision des résultats.

Mots clés : équation de transport, schéma numérique, différences finies

## Abstract

The finite difference method for solving differential equations is often employed in various physics or mathematics problems. It involves discretizing the continuous space into a grid of points and then approximating the values of the function's derivatives, which we want to determine, using finite differences calculated from the function values at neighboring points. By utilizing this approximation, it is possible to transform a differential equation into a system of linear equations that can be numerically solved using programming languages such as Fortran 77 to obtain approximate solutions to the differential equation. This method is highly valuable for solving complex problems that lack an exact analytical solution. However, the finite difference method has its limitations. For instance, it can become computationally expensive for a

very fine discretization, resulting in long computation times. Additionally, numerical rounding errors can distort the obtained results. The method is also sensitive to boundary conditions, so the use of auxiliary techniques may be necessary to maintain result accuracy.

Key words : transport equation, numerical scheme, finite differences

### Özet

Sonluk denklemlerin çözümünde sonlu farklar yöntemi, fizik veya matematik problemlerinin çözümünde sıkça kullanılır. Bu yöntemde, sürekli uzayı nokta kafesine dönüştürerek, aranan fonksiyonun türev değerlerini komşu noktalardaki fonksiyon değerlerinden hesaplanan sonlu farklarla yaklaşık olarak elde etmek amaçlanır. Bu yaklaşımı kullanarak, diferansiyel denklemi, diferansiyel denklemin yaklaşık çözümünü elde etmek için Fortran 77 gibi hesaplama dilleriyle sayısal olarak çözülebilen bir doğrusal denklem sistemi haline dönüştürmek mümkündür. Bu yöntem, kesin analitik bir çözümü olmayan karmaşık problemlerin çözümü için oldukça faydalıdır. Ancak, sonlu farklar yönteminin sınırlamaları vardır. Örneğin, çok ince bir ayrıştırmada hesaplama süresi açısından maliyetli olabilir. Ayrıca, sayısal yuvarlama hataları elde edilen sonuçları bozabilir. Yöntem aynı zamanda sınır koşullarına hassastır, bu nedenle sonuç hassasiyetini korumak için ek tekniklerin kullanılması gerekebilir.

Anahtar kelimeler : taşıma denklemi, sayısal şema, sonlu farklar

# Sommaire

<b>Introduction</b>	<b>5</b>
<b>1. L'équation de Transport</b>	<b>5</b>
<b>2. Analyse d'erreur</b>	<b>8</b>
2.1 Étude de la consistance	8
2.2 Étude de la stabilité $L^\infty$	8
2.3 Étude de la stabilité $L^2$	8
<b>3. Étude du schéma explicite décentré aval</b>	<b>10</b>
3.1. Étude analytique du schéma S1	10
3.1.1. Erreur de consistance	10
3.1.2. Stabilité	11
3.2. Étude numérique	12
3.2.1 Donnée initiale discontinue avec $c = 1$	12
3.2.2 Donnée initiale discontinue avec $c < 0$	14
<b>4. Étude du schéma explicite centré</b>	<b>14</b>
4.1. Étude analytique du schéma S2	14
4.1.1. Erreur de consistance	15
4.1.2. Stabilité	15
4.2. Étude numérique	17
4.2.1 Donnée initiale discontinue avec $c < 0$	17
<b>5. Étude du schéma explicite décentré amont</b>	<b>18</b>
5.1. Étude analytique du schéma S3	19
5.1.1. Erreur de consistance	19
5.1.2. Stabilité	19
5.2. Étude numérique	20
5.2.1 Donnée initiale discontinue avec $c=1$	20
<b>6. Étude du schéma "leap frog"</b>	<b>23</b>
6.1. Étude analytique du schéma S4	23
6.1.1. Erreur de consistance	23
6.1.2. Stabilité	24
<b>7. Étude du schéma numérique S5</b>	<b>25</b>
7.1. Étude analytique du schéma S5	25
7.1.1. Erreur de consistance	25
7.1.2. Stabilité	26

7.2. Étude numérique . . . . .	27
7.2.1 Donnée initiale discontinue avec $c=1$ . . . . .	27
<b>8. Résolution d'un cas particulier avec <math>c(x, t) = \cos(x)</math></b>	<b>30</b>
8.1. Solution exacte du problème de transport . . . . .	30
8.2. Solution quasi-exacte . . . . .	32
8.3. Construction d'un schéma stable . . . . .	32
<b>Conclusion</b>	<b>35</b>
<b>Annexes</b>	<b>36</b>
<b>Bibliographie</b>	<b>46</b>

## Introduction

La méthode des différences finies est une méthode numérique utilisée pour résoudre des équations différentielles ou des problèmes de valeurs limites. Elle consiste à discrétiser l'espace continu en un ensemble fini de points et puis d'approcher les dérivées en remplaçant les différences finies entre les points voisins par des approximations numériques. Cela permet alors de transformer l'équation différentielle en un système d'équations algébriques qui lui peut être résolu numériquement pour obtenir une solution approchée de l'équation originale. Dans notre cas, nous nous pencherons sur son utilisation liée à l'équation de transport.

## 1. L'équation de Transport

On considère l'équation de transport linéaire à coefficient constant :

$$\begin{cases} u_t + c u_x = 0 \text{ où } x \in (0, 5) \text{ et } t \in (0, 10) \\ u(0, x) = u_0(x) \in \mathbb{R} \end{cases} \quad (1)$$

**Notation 1** Pour toute la suite de notre raisonnement, on écrira :

$$u_t = \frac{\partial u}{\partial t}, u_{tt} = \frac{\partial^2 u}{\partial t^2}, u_x = \frac{\partial u}{\partial x} \text{ et } u_{xx} = \frac{\partial^2 u}{\partial x^2}$$

Pour l'approximation de la valeur de  $u$ , nous utiliserons la méthode des différences finies. Cette dernière est basée sur les développements de Taylor :

**Théorème 1** Soit  $f \in C^p(I, \mathbb{R})$ , avec  $I \subseteq \mathbb{R}$ , et  $x_0 \in I$

Soit  $h \in \mathbb{R}$  tel que  $x_0 + h \in I$  alors :

$$f(x_0 + h) = f(x_0) + f'(x_0)h + \cdots + \frac{f^{(p)}(x_0)}{p!}h^p + r(h)$$

où  $r(h) = \mathcal{O}(h^{p+1})$ , ie  $\exists k > 0$  tel que  $|r(h)| \leq kh^{p+1}$

Calculons, à l'aide de ce principe, les différentes dérivées partielles de l'équation de transport :

Soit  $\delta t > 0$

$$u(x, t + \delta t) = u(x, t) + \frac{\partial u(x, t)}{\partial t} \delta t + \frac{\partial^2 u(x, t)}{\partial t^2} \frac{\delta t^2}{2} + \mathcal{O}(\delta t^3) \quad (a)$$

$$u(x, t - \delta t) = u(x, t) - \frac{\partial u(x, t)}{\partial t} \delta t + \frac{\partial^2 u(x, t)}{\partial t^2} \frac{\delta t^2}{2} + \mathcal{O}(\delta t^3) \quad (\text{b})$$

Grâce à (a), on peut en déduire la formule décentrée aval :

$$\frac{\partial u(x, t)}{\partial t} = \frac{u(x, t + \delta t) - u(x, t)}{\delta t} + \mathcal{O}(\delta t) \quad (2)$$

De même, grâce à (b), on obtient la formule décentrée amont :

$$\frac{\partial u(x, t)}{\partial t} = \frac{u(x, t) - u(x, t - \delta t)}{\delta t} + \mathcal{O}(\delta t) \quad (3)$$

Ainsi, en soustrayant ces deux équations ((2) - (3)), on aura la formule centrée :

$$\frac{\partial u(x, t)}{\partial t} = \frac{u(x, t + \delta t) - u(x, t - \delta t)}{2\delta t} + \mathcal{O}(\delta t^2) \quad (4)$$

De la même façon, on peut approcher  $\frac{\partial u(x, t)}{\partial x}$  :

— Formule décentrée aval

$$\frac{\partial u(x, t)}{\partial x} = \frac{u(x + \delta x, t) - u(x, t)}{\delta x} + \mathcal{O}(\delta x) \quad (5)$$

— Formule décentrée amont

$$\frac{\partial u(x, t)}{\partial x} = \frac{u(x, t) - u(x - \delta x, t)}{\delta x} + \mathcal{O}(\delta x) \quad (6)$$

— Formule centrée

$$\frac{\partial u(x, t)}{\partial x} = \frac{u(x + \delta x, t) - u(x - \delta x, t)}{2\delta x} + \mathcal{O}(\delta x^2) \quad (7)$$

Maintenant, nous allons construire un schéma numérique pour une équation de transport quelconque en appliquant ces approximations.

Supposons que  $x \in [a, b]$  et  $t > 0$ . Soit la subdivision  $x_i = a + i\delta x$  avec  $\delta x = \frac{b-a}{n}$  et  $i \in \llbracket 0, N \rrbracket$ .

On cherche alors,  $\forall i$ , la solution de l'équation :

$$u_t(x_i, t) + cu_x(x_i, t) = 0 \iff u_t(x_i, t) + c \frac{u(x_i + \delta x, t) - u(x_i - \delta x, t)}{2\delta x} = \mathcal{O}(\delta x^2)$$

De plus, on subdivise aussi  $t$  :

$$t_0 = 0, t_1 = t_0 + \delta t, \dots, t_{n+1} = t_n + \delta t \text{ où } \delta t > 0$$

On cherche la solution  $\forall n$  :

$$\begin{aligned} u_t(x_i, t_n) + c \frac{u(x_{i+1}, t_n) - u(x_{i-1}, t_n)}{2\delta x} &= \mathcal{O}(\delta x^2) \\ \iff \frac{u(x_i, t_{n+1}) - u(x_i, t_{n-1})}{2\delta t} + c \frac{u(x_{i+1}, t_n) - u(x_{i-1}, t_n)}{2\delta x} &= \mathcal{O}(\delta x^2, \delta t^2) \end{aligned}$$

**Notation 2** Pour la suite, nous allons supposer que  $\delta t$  et  $\delta x$  sont petits. Ainsi :  $u_i^n \simeq u(x_i, t_n)$

Considérons et étudions les cinq schémas suivants :

— Schéma explicite décentré aval

$$\frac{u_i^{n+1} - u_i^n}{\delta t} + c \frac{u_{i+1}^n - u_i^n}{\delta x} = 0 \quad (\text{S1})$$

— Schéma explicite centré

$$\frac{u_i^{n+1} - u_i^n}{\delta t} + c \frac{u_{i+1}^n - u_{i-1}^n}{2\delta x} = 0 \quad (\text{S2})$$

— Schéma explicite décentré amont

$$\frac{u_i^{n+1} - u_i^n}{\delta t} + c \frac{u_i^n - u_{i-1}^n}{\delta x} = 0 \quad (\text{S3})$$

— Schéma leap frog (saute mouton)

$$\frac{u_i^{n+1} - u_i^{n-1}}{2\delta t} + c \frac{u_{i+1}^n - u_{i-1}^n}{2\delta x} = 0 \quad (\text{S4})$$



— Schéma numérique avec  $\lambda = c \frac{\delta t}{\delta x}$

$$u_i^{n+1} = u_i^n - \frac{\lambda}{2} (u_{i+1}^n - u_{i-1}^n) + \frac{\lambda^2}{2} (u_{i+1}^n - 2u_i^n + u_{i-1}^n) \quad (\text{S5})$$

## 2. Analyse d'erreur

### 2.1 Étude de la consistance

Pour analyser la consistance d'un schéma numérique, on suppose que la solution est régulière. Par la suite, on calcule l'erreur de troncature  $\epsilon(\delta t, \delta x)$ , en posant  $\bar{u}_i^n = u(x_i, t_n)$ , solution du problème de transport par définition. Ainsi, après calcul, on retrouve l'équation de départ ainsi que l'erreur globale.

Or, cette dernière possède un terme prépondérant dans l'erreur de troncature. Si ce terme est d'ordre pair, alors le coefficient porté par l'opérateur est un coefficient de diffusion numérique. Par contre, si ce terme est d'ordre impair, le coefficient porté par l'opérateur est un coefficient de dispersion numérique.

Enfin, pour avoir un schéma numérique convergent, il faut que ce coefficient soit un coefficient de diffusion numérique et qu'il soit négatif. Ainsi, le schéma sera stable au sens  $L^\infty$ .

De plus, comme  $u$  est la solution de l'équation de transport et si on a :

$$\lim_{(\delta t, \delta x) \rightarrow (0,0)} \epsilon(\delta t, \delta x) = 0$$

alors, le schéma est consistant.

### 2.2 Étude de la stabilité $L^\infty$

**Définition 1** On dit qu'un schéma vérifie le principe du max si :

$$m \leq u_i^0 \leq M \Rightarrow m \leq u_i^n \leq M \quad \forall n$$

## 2.3 Étude de la stabilité $L^2$

Pour analyser la stabilité au sens  $L^2$ , on réalise une analyse de Fourier. On suppose que le problème est posé sur  $[0, 1]$ , muni de conditions aux limites périodiques :

$$u(x, t) = u(x + 1, t) \quad \forall t > 0 \text{ et } \forall x \in [0, 1]$$

On pose :

$$u^n(x) = u_i^n \mathbb{1}_{m_i}(x)$$

avec  $m_i = ]x_i - \frac{\delta x}{2}, x_i + \frac{\delta x}{2}[$  et  $\mathbb{1}_{m_i}$ , la fonction indicatrice pour  $x \in m_i$ .

Cette fonction est de carré intégrable et admet une décomposition en série de Fourier :

$$u_n(x) = \sum_{k \in \mathbb{Z}} \hat{u}^n(k) e^{2I\pi k x} \text{ avec } I = \sqrt{-1}$$

De plus, on a :

$$\hat{u}_n(t) = \int_0^1 u_n(x) e^{-2I\pi k x} dx$$

On utilise donc le théorème de Plancherel :

### Théorème 2

$$\|u_n\|_2^2 = \sum_{k \in \mathbb{Z}} |\hat{u}^n(k)|^2 = \|\hat{u}^n(i)\|_2^2$$

**Remarque 1** La stabilité  $L^\infty$  entraîne la stabilité  $L^2$ .

**Remarque 2** On utilisera les relations suivantes pour étudier plus facilement la stabilité d'un schéma. Pour cela, on sait que  $u$  est la solution de l'équation de transport. Ainsi :

$$u_t + cu_x = 0 \iff u_t = -cu_x$$

Ainsi, en dérivant de nouveau, on a :

$$\begin{aligned} u_{tt} &= -(cu_x)_t \iff u_{tt} = -(cu_t)_x \\ &\iff u_{tt} = -(c(-cu_x))_x \\ &\iff u_{tt} = c^2(u_{xx}) \end{aligned}$$

De ce fait, on pourra remplacer les termes souhaités afin de simplifier l'équation.

### **Théorème 3** *Théorème de Lax : Un schéma stable et consistant converge*

Notre objectif est de comparer les solutions numériques exactes pour différentes valeurs de  $N$  et de  $\alpha \in (0, 1]$ .

Tout d'abord, nous allons procéder à l'étude théorique de chaque schéma, en examinant leur stabilité et leur erreur de consistance. Ensuite, nous utiliserons le langage Fortran pour approcher la solution exacte avec une solution numérique, pour laquelle nous ferons varier le paramètre  $\alpha = c \frac{\delta t}{\delta x}$  ainsi que le nombre de points  $N$ .

## 3. Étude du schéma explicite décentré aval

Ce schéma est un schéma numérique explicite décentré aval qui s'écrit de la forme suivante :

$$\frac{u_i^{n+1} - u_i^n}{\delta t} + c \frac{u_{i+1}^n - u_i^n}{\delta x} = 0 \quad (S1)$$

### 3.1. Étude analytique du schéma S1

#### 3.1.1. Erreur de consistance

Soit  $u$  la solution régulière de l'équation de transport. On pose  $u_i^n = u(x_i, t_n)$ . Comme vu précédemment, on note  $\epsilon(\delta x, \delta t)$ , l'erreur de troncature :

$$\epsilon(\delta x, \delta t) = \frac{\overline{u_i^{n+1}} - \overline{u_i^n}}{\delta t} + c \frac{\overline{u_{i+1}^n} - \overline{u_i^n}}{\delta x} \quad (8)$$

On effectue les développements limités de Taylor correspondants et on obtient :

$$\begin{aligned} u_i^{n+1} &= u(x_i, t_{n+1}) = u_i^n + \delta t (u_t)_i^n + \frac{\delta t^2}{2} (u_{tt})_i^n + \mathcal{O}(\delta t^3) \\ u_{i+1}^n &= u(x_{i+1}, t_n) = u_i^n + \delta x (u_x)_i^n + \frac{\delta x^2}{2} (u_{xx})_i^n + \mathcal{O}(\delta x^3) \end{aligned}$$

Afin de pouvoir remplacer ces expressions dans l'équation, on a :

$$\frac{u_i^{n+1} - u_i^n}{\delta t} = (u_t)_i^n + \frac{\delta t}{2} (u_{tt})_i^n + \mathcal{O}(\delta t^2) \quad (c)$$

$$\frac{u_{i+1}^n - u_i^n}{\delta x} = (u_x)_i^n + \frac{\delta x}{2} (u_{xx})_i^n + \mathcal{O}(\delta x^2) \quad (d)$$

En remplaçant dans (8), on obtient :

$$\epsilon(\delta x, \delta t) = \overline{(u_t)_i^n} + c \overline{(u_x)_i^n} + \frac{\delta t}{2} \overline{(u_{tt})_i^n} + c \frac{\delta x}{2} \overline{(u_{xx})_i^n} + \mathcal{O}(\delta t^2, \delta x^2) \quad (8bis)$$

Par conséquent, on a bien :

$$\lim_{(\delta t, \delta x) \rightarrow (0,0)} \epsilon(\delta t, \delta x) = 0$$

**Conclusion 1** *Le schéma S1 est alors consistant à l'ordre 1 en temps et 1 en espace.*

### 3.1.2. Stabilité

On note  $\alpha \in (0, 1]$  tel que  $\delta t = \alpha \frac{\delta x}{|c|}$ . Cette condition de stabilité est appelée la condition CFL (Courant-Friedrichs-Lewy).

À l'aide de la remarque 2, on peut simplifier l'équation (8bis) :

$$u_t + c u_x + c^2 \frac{\delta t}{2} u_{xx} + c \frac{\delta x}{2} u_{xx} = 0$$

Ainsi, on en déduit le coefficient de viscosité :

$$\nu = c \left( \frac{c \delta t + \delta x}{2} \right)$$

Cas 1 :

Si  $c > 0$  alors  $\nu > 0$ . Par conséquent,  $\forall \delta x$  et  $\forall \delta t$ , le schéma sera instable au sens  $L^p$ ,  $\forall p \in \mathbb{R}$ .

Cas 2 :

Si  $c < 0$  et si la condition de CFL est vérifiée, alors  $\nu < 0$ . Par conséquent,  $\forall \delta x$  et  $\forall \delta t$ , le schéma sera stable au sens  $L^\infty$ .

**Conclusion 2** Si  $c > 0$  alors le schéma est instable au sens  $L^p$ ,  $\forall p \in \mathbb{R}$ .

Si  $c < 0$  et si la condition de CFL est vérifiée, alors le schéma est  $L^\infty$  stable.

## 3.2. Étude numérique

### 3.2.1 Donnée initiale discontinue avec $c = 1$

Dans ce cas, nous supposons que  $c = 1$  et nous prenons la donnée initiale discontinue suivante :  
 Soit

$$u_0(x) = e^{-50(x-3)^2} + \begin{cases} 1 & \text{si } x \in [1, 2] \\ 0 & \text{sinon} \end{cases} \quad (9)$$

Afin de réaliser les différents graphiques, on utilisera le langage Fortran. On fera varier le paramètre  $\alpha$  de manière à ce que  $\alpha = 0.5$ ,  $\alpha = 0.9$ ,  $\alpha = 1$  et  $\alpha = 1.2$ . Ainsi, on pourra confronter les solutions numériques avec la solution exacte  $u(x, t) = u_0(x - ct)$  en prenant  $N = 100$ ,  $N = 500$  et  $N = 1000$ .

Tout d'abord, pour  $N = 100$ , nous obtenons :

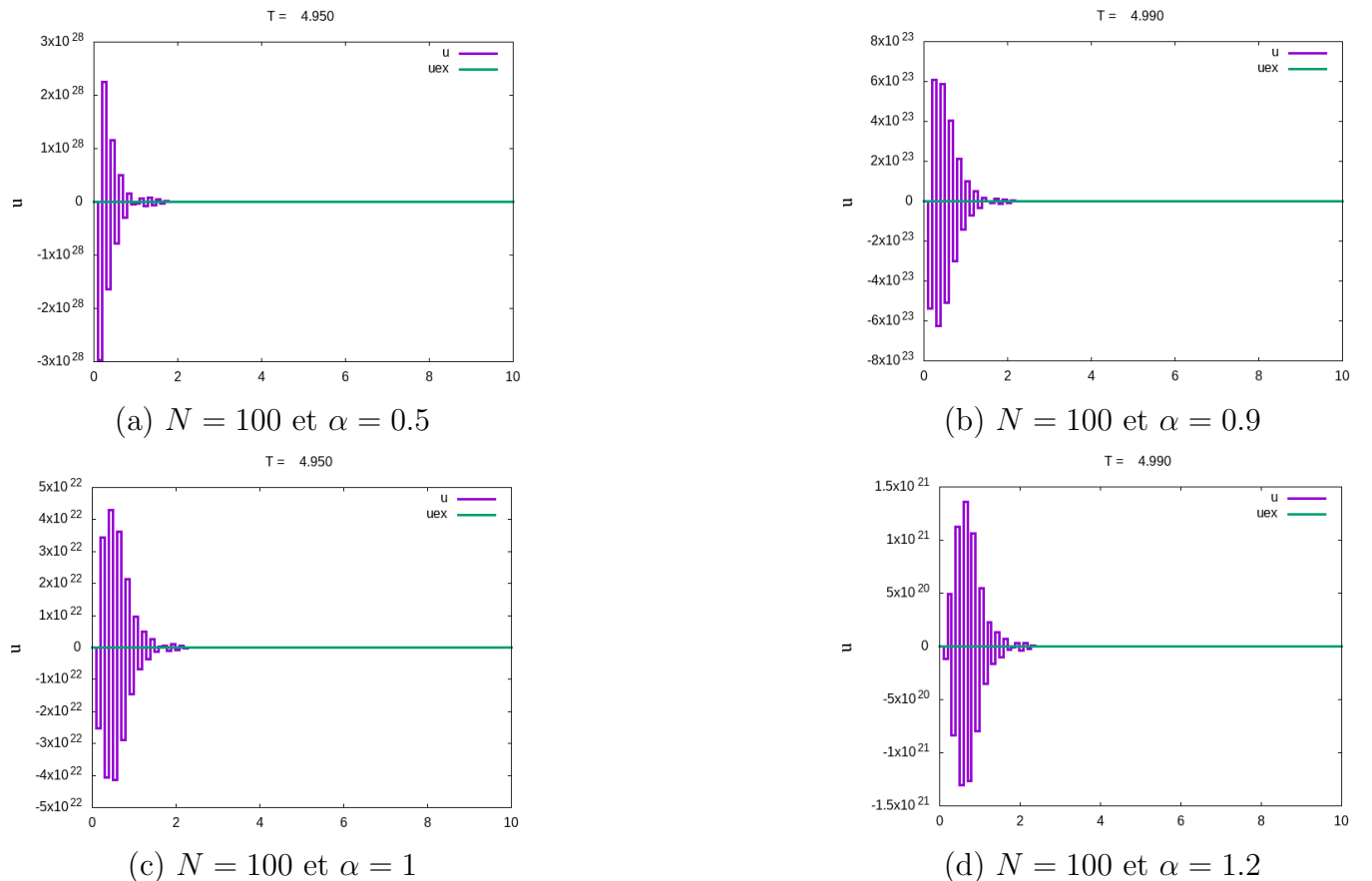
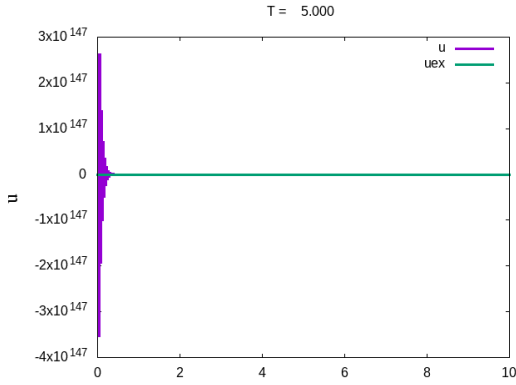
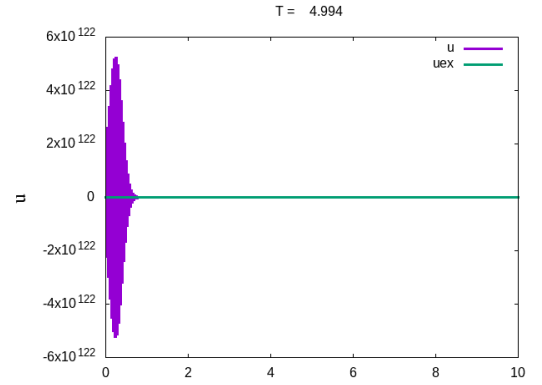


FIGURE 1 – Solutions numériques du schéma explicite décentré aval pour  $N = 100$

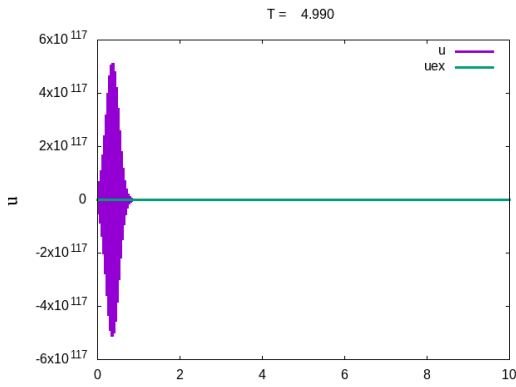
Puis, pour  $N = 500$  :



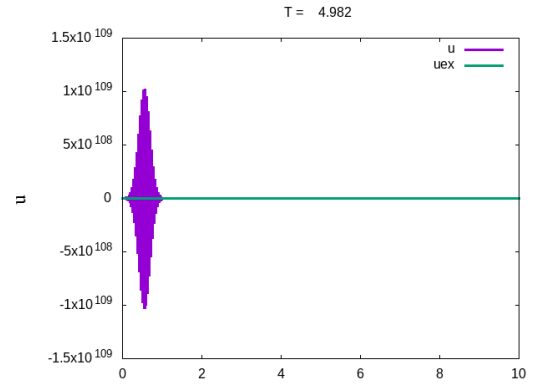
(a)  $N = 500$  et  $\alpha = 0.5$



(b)  $N = 500$  et  $\alpha = 0.9$



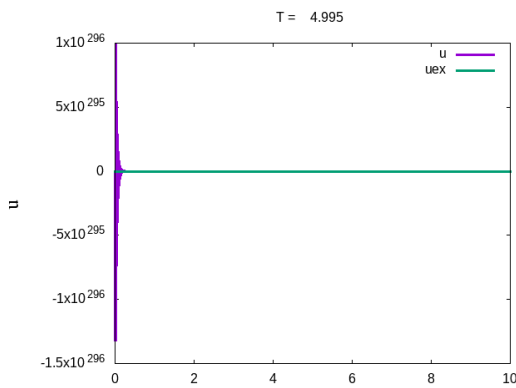
(c)  $N = 500$  et  $\alpha = 1$



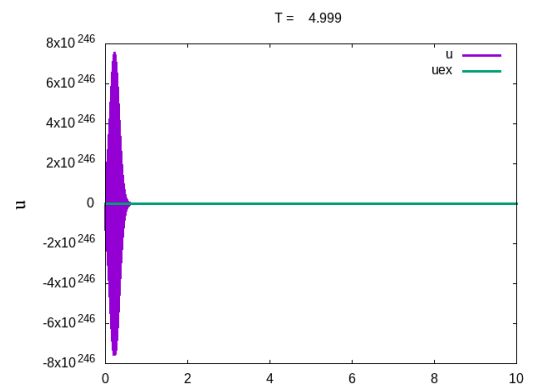
(d)  $N = 500$  et  $\alpha = 1.2$

FIGURE 2 – Solutions numériques du schéma explicite décentré aval pour  $N = 500$

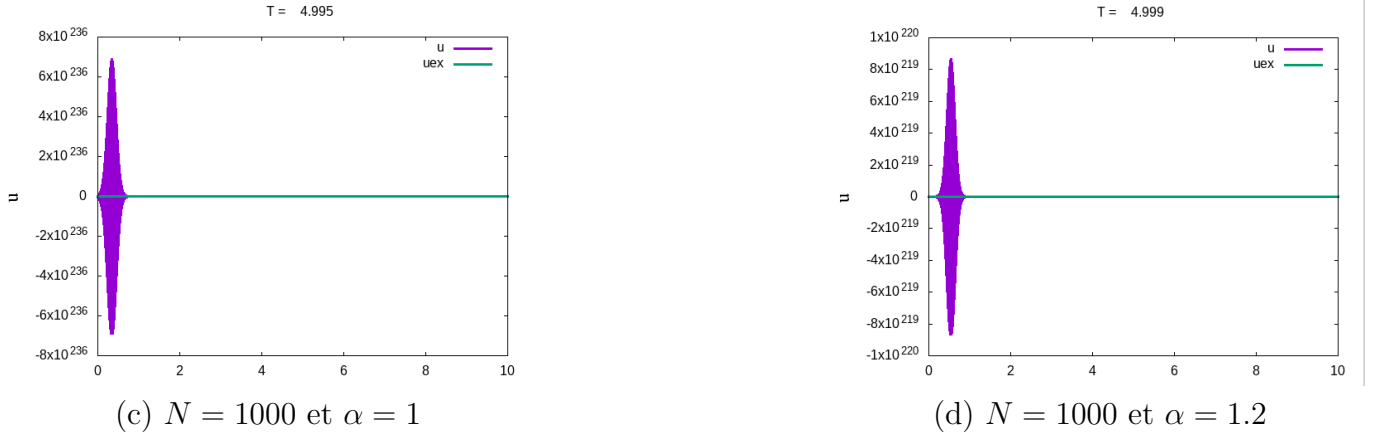
Enfin, pour  $N = 1000$  :



(a)  $N = 1000$  et  $\alpha = 0.5$



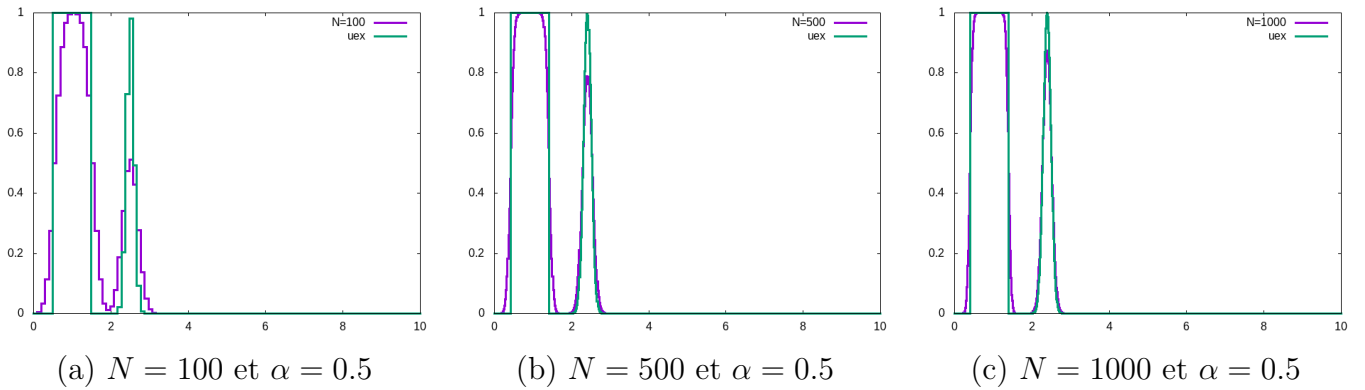
(b)  $N = 1000$  et  $\alpha = 0.9$

FIGURE 3 – Solutions numériques du schéma explicite décentré aval pour  $N = 1000$ 

Nous pouvons remarquer que, pour toutes les valeurs de  $\alpha$ , le schéma explicite décentré aval est instable. En effet, d'après la partie analytique sur la stabilité du schéma (S1), pour que le schéma soit stable, il faut que le coefficient de viscosité soit négatif, soit que  $c < 0$ . Or, ici,  $c > 0$ , d'où les résultats obtenus.

### 3.2.2 Donnée initiale discontinue avec $c < 0$

Cette fois-ci, on choisit  $c = -1$ , afin de démontrer la stabilité du schéma. Ainsi, pour  $N = 100$  :

FIGURE 4 – Solutions numériques du schéma explicite décentré aval pour  $\alpha = 0.5$  avec  $c = -1$ 

On remarque bien que le schéma converge pour  $c = -1$ . Par ailleurs, on n'a pu tester que pour  $\alpha = 0.5$ . Par conséquent, pour un certain  $\alpha$ , le schéma sera sûrement instable.

## 4. Étude du schéma explicite centré

Ce schéma est un schéma numérique explicite centré qui s'écrit de la forme suivante :

$$\frac{u_i^{n+1} - u_i^n}{\delta t} + c \frac{u_{i+1}^n - u_{i-1}^n}{2\delta x} = 0 \quad (\text{S2})$$

## 4.1. Étude analytique du schéma S2

### 4.1.1. Erreur de consistance

Soit  $u$  la solution régulière de l'équation de transport. On pose  $u_i^n = u(x_i, t_n)$ . Comme vu précédemment, on note  $\epsilon(\delta x, \delta t)$ , l'erreur de troncature :

$$\epsilon(\delta x, \delta t) = \frac{\overline{u_i^{n+1}} - \overline{u_i^n}}{\delta t} + c \frac{\overline{u_{i+1}^n} - \overline{u_{i-1}^n}}{2\delta x} \quad (10)$$

On effectue les développements limités de Taylor correspondants et on obtient :

$$\begin{aligned} u_i^{n+1} &= u(x_i, t_{n+1}) = u_i^n + \delta t (u_t)_i^n + \frac{\delta t^2}{2} (u_{tt})_i^n + \mathcal{O}(\delta t^3) \\ u_{i+1}^n &= u(x_{i+1}, t_n) = u_i^n + \delta x (u_x)_i^n + \frac{\delta x^2}{2} (u_{xx})_i^n + \frac{\delta x^3}{6} (u_{xxx})_i^n + \mathcal{O}(\delta x^4) \\ u_{i-1}^n &= u(x_{i-1}, t_n) = u_i^n - \delta x (u_x)_i^n + \frac{\delta x^2}{2} (u_{xx})_i^n - \frac{\delta x^3}{6} (u_{xxx})_i^n + \mathcal{O}(\delta x^4) \end{aligned}$$

Afin de pouvoir remplacer ces expressions dans l'équation, on a :

$$\frac{u_i^{n+1} - u_i^n}{\delta t} = (u_t)_i^n + \frac{\delta t}{2} (u_{tt})_i^n + \mathcal{O}(\delta t^2) \quad (e)$$

$$\frac{u_{i+1}^n - u_{i-1}^n}{2\delta x} = (u_x)_i^n + \frac{\delta x^2}{6} (u_{xxx})_i^n + \mathcal{O}(\delta x^3) \quad (f)$$

En remplaçant dans (e), on obtient :

$$\epsilon(\delta x, \delta t) = \underbrace{\overline{(u_t)_i^n} + c \overline{(u_x)_i^n}}_{\text{équation de transport}} + \underbrace{\frac{\delta t}{2} \overline{(u_{tt})_i^n} + c \frac{\delta x^2}{6} \overline{(u_{xxx})_i^n}}_{\substack{\text{terme prépondérant dans l'erreur de troncature} \\ \text{erreur global} = \mathcal{O}(\delta t, \delta x^2)}} + \mathcal{O}(\delta t^2, \delta x^3) \quad (10\text{bis})$$

Par conséquent, on a bien :

$$\lim_{(\delta t, \delta x) \rightarrow (0,0)} \epsilon(\delta t, \delta x) = 0$$

**Conclusion 3** *Le schéma S2 est alors consistant à l'ordre 1 en temps et 2 en espace.*



#### 4.1.2. Stabilité

À l'aide de la remarque 2, on peut simplifier l'équation (10bis) :

$$u_t + c u_x + c^2 \frac{\delta t}{2} u_{xx} + c \frac{\delta x^2}{6} u_{xxx} = 0$$

D'après la section 2.1., cette équation simplifiée possède un terme prépondérant d'ordre impair, donc le coefficient porté par l'opérateur est un coefficient de dispersion numérique. Donc, le schéma n'est pas consistant.

Démontrons la stabilité avec Fourier. Pour cela, réécrivons (S2) en remplaçant  $u_i^n$  par  $\hat{u}^n(k)$ . Ainsi, on a :

$$\frac{\hat{u}^{n+1}(k) - \hat{u}^n(k)}{\delta t} + c \frac{\hat{u}^n(k)(e^{2I\pi k\delta x} - e^{-2I\pi k\delta x})}{2\delta x} = 0 \iff \hat{u}^{n+1}(k) = \underbrace{\left(1 - c \frac{\delta t}{2\delta x}(e^{2I\pi k\delta x} - e^{-2I\pi k\delta x})\right)}_{A(k)} \hat{u}^n(k)$$

Or,  $e^{2I\pi k\delta x} - e^{-2I\pi k\delta x} = 2I \sin(2\pi k\delta x)$ .

Ainsi,

$$A(k) = 1 - c \frac{\delta t}{\delta x} I \sin(2\pi k\delta x)$$

Si  $|A(k)| < 1$ , alors le schéma sera stable  $L^2$ . Donc, on a :

$$\begin{aligned} \sqrt{1^2 + \alpha^2 \sin^2(2\pi k\delta x)} < 1 &\iff 1 + \alpha^2 \sin^2(2\pi k\delta x) < 1 \\ &\iff \alpha^2 \sin^2(2\pi k\delta x) < 0 \end{aligned}$$

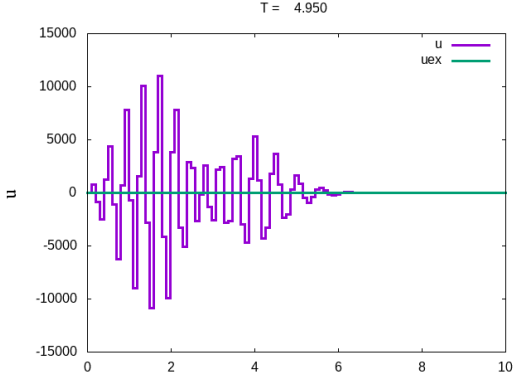
Un nombre au carré est toujours positif donc, ce qui est écrit précédemment est impossible.

**Conclusion 4** *Le schéma est instable  $\forall c, \forall \delta t > 0$ .*

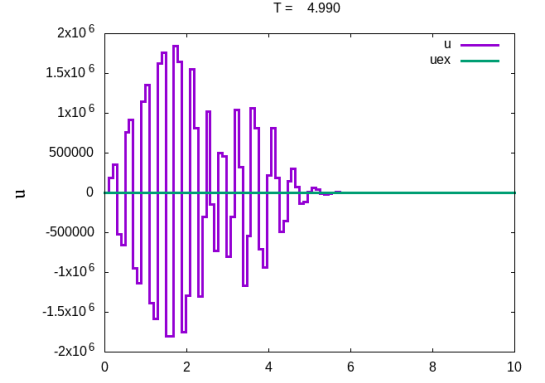
## 4.2. Étude numérique

### 4.2.1 Donnée initiale discontinue avec $c = 1$

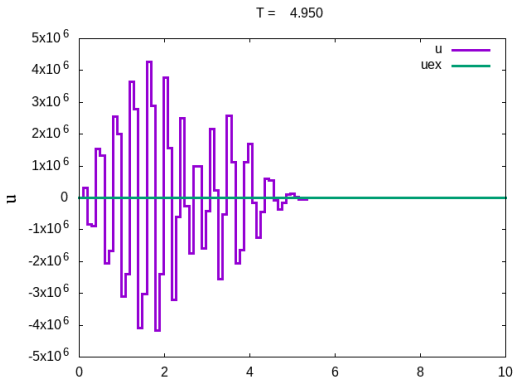
De la même manière que dans la partie précédente, on trace les graphiques suivants :



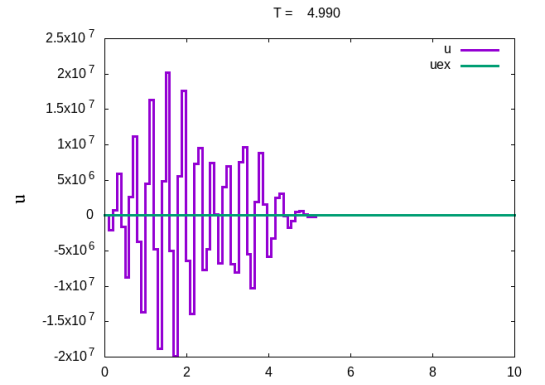
(a)  $N = 100$  et  $\alpha = 0.5$



(b)  $N = 100$  et  $\alpha = 0.9$

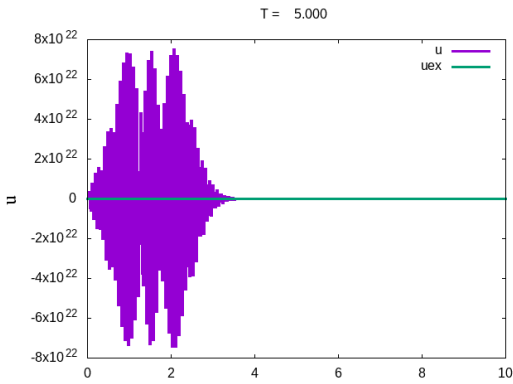


(c)  $N = 100$  et  $\alpha = 1$

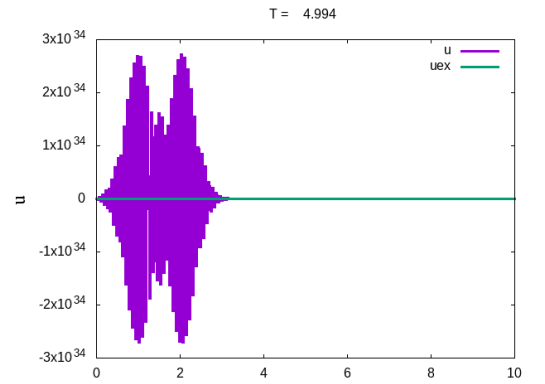


(d)  $N = 100$  et  $\alpha = 1.2$

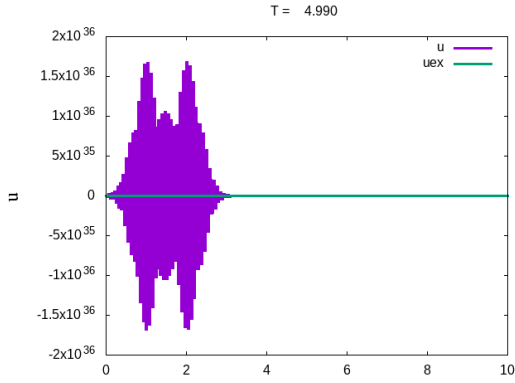
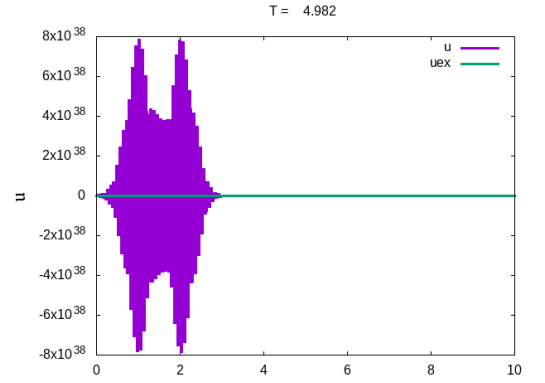
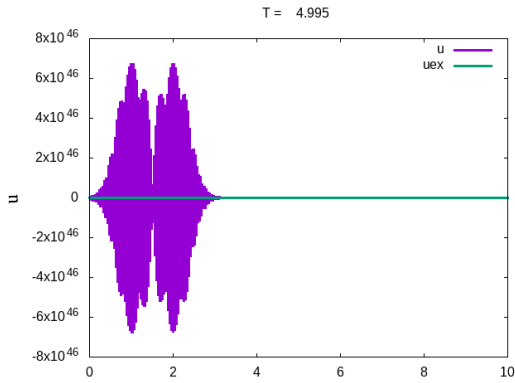
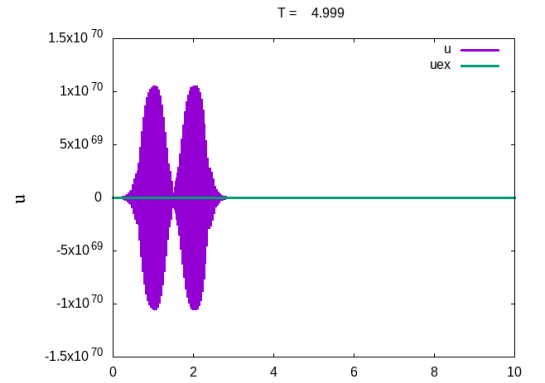
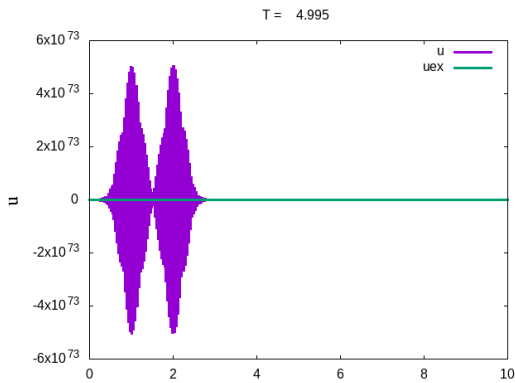
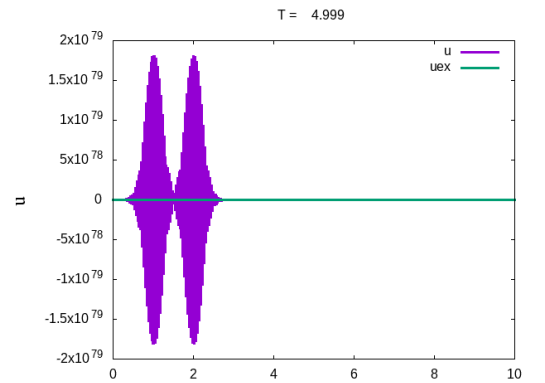
FIGURE 5 – Solutions numériques du schéma explicite centré pour  $N = 100$



(a)  $N = 500$  et  $\alpha = 0.5$



(b)  $N = 500$  et  $\alpha = 0.9$

(c)  $N = 500$  et  $\alpha = 1$ (d)  $N = 500$  et  $\alpha = 1.2$ FIGURE 6 – Solutions numériques du schéma explicite centré pour  $N = 500$ (a)  $N = 1000$  et  $\alpha = 0.5$ (b)  $N = 1000$  et  $\alpha = 0.9$ (c)  $N = 1000$  et  $\alpha = 1$ (d)  $N = 1000$  et  $\alpha = 1.2$ FIGURE 7 – Solutions numériques du schéma explicite centré pour  $N = 1000$ 

Pour n'importe quelle valeur de  $N$  ou de  $\alpha$ , le schéma explicite centré est instable. C'est ce que nous avons démontré dans la partie analytique.

## 5. Étude du schéma explicite décentré amont

Ce schéma est un schéma numérique explicite décentré amont qui s'écrit de la forme suivante :

$$\frac{u_i^{n+1} - u_i^n}{\delta t} + c \frac{u_i^n - u_{i-1}^n}{\delta x} = 0 \quad (\text{S3})$$

### 5.1. Étude analytique du schéma S3

On procède de la même manière que précédemment pour déterminer la consistance et la stabilité.

#### 5.1.1. Erreur de consistance

Soit  $u$  la solution régulière de l'équation de transport. On pose  $u_i^n = u(x_i, t_n)$ . Comme vu précédemment, on note  $\epsilon(\delta x, \delta t)$ , l'erreur de troncature :

$$\epsilon(\delta x, \delta t) = \frac{\overline{u_i^{n+1}} - \overline{u_i^n}}{\delta t} + c \frac{\overline{u_i^n} - \overline{u_{i-1}^n}}{\delta x} \quad (11)$$

On remarque que le calcul pour l'erreur de consistance est quasiment le même que pour le schéma explicite décentré aval (S1). On trouve donc :

$$\epsilon(\delta x, \delta t) = \overline{(u_t)_i^n} + c \overline{(u_x)_i^n} + \frac{\delta t}{2} \overline{(u_{tt})_i^n} - c \frac{\delta x}{2} \overline{(u_{xx})_i^n} + \mathcal{O}(\delta t^2, \delta x^2) \quad (11\text{bis})$$

Par conséquent, on a bien :

$$\lim_{(\delta t, \delta x) \rightarrow (0,0)} \epsilon(\delta t, \delta x) = 0$$

**Conclusion 5** *Le schéma S3 est alors consistant à l'ordre 1 en temps et 1 en espace.*

#### 5.1.2. Stabilité

À l'aide de la remarque 2, on peut simplifier l'équation (11bis) :

$$u_t + c u_x + c^2 \frac{\delta t}{2} u_{xx} - c \frac{\delta x}{2} u_{xx} = 0$$

Ainsi, on en déduit le coefficient de viscosité :

$$\nu = c \left( \frac{c \delta t - \delta x}{2} \right)$$

Cas 1 :

Si  $c < 0$  alors  $\nu > 0$ . Par conséquent,  $\forall \delta x$  et  $\forall \delta t$ , le schéma sera instable au sens  $L^p$ ,  $\forall p \in \mathbb{R}$ .

Cas 2 :

Si  $c > 0$  et si la condition de CFL est vérifiée, alors  $\nu < 0$ . Par conséquent,  $\forall \delta x$  et  $\forall \delta t$ , le schéma sera stable au sens  $L^\infty$ .

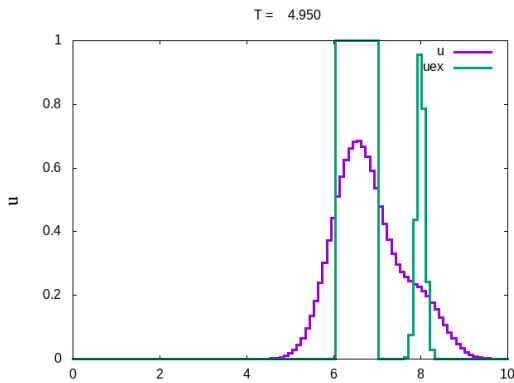
**Conclusion 6** Si  $c < 0$  alors le schéma est instable au sens  $L^p$ ,  $\forall p \in \mathbb{R}$ .

Si  $c > 0$  et si la condition de CFL est vérifiée, alors le schéma est  $L^\infty$  stable.

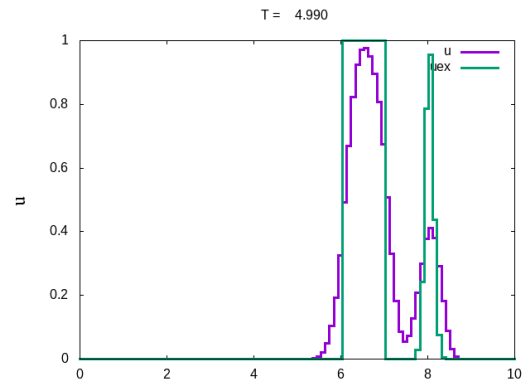
## 5.2. Étude numérique

### 5.2.1 Donnée initiale discontinue avec $c=1$

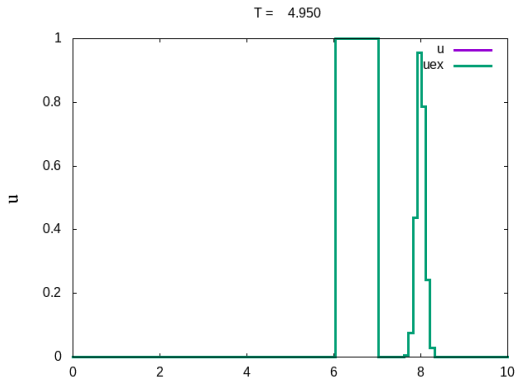
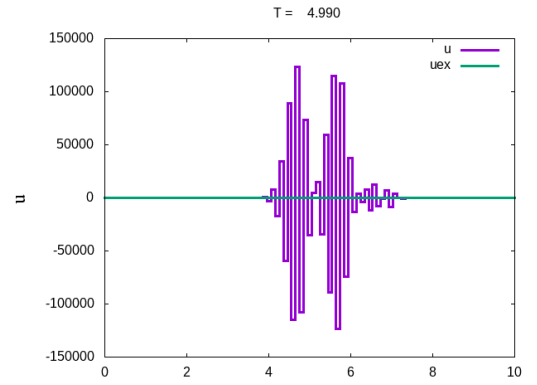
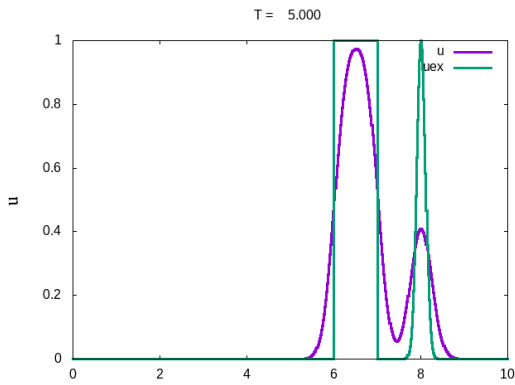
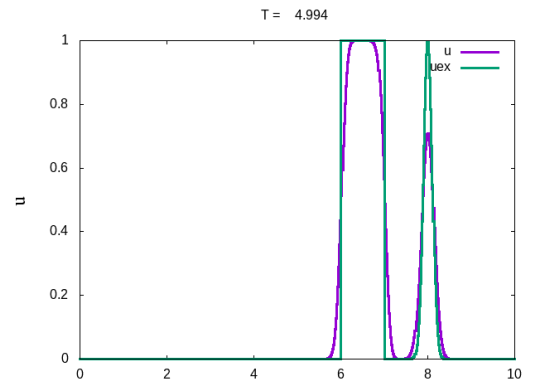
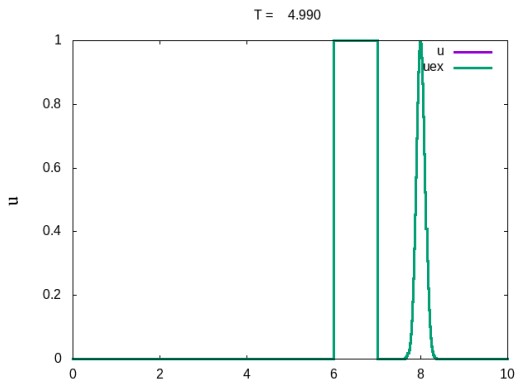
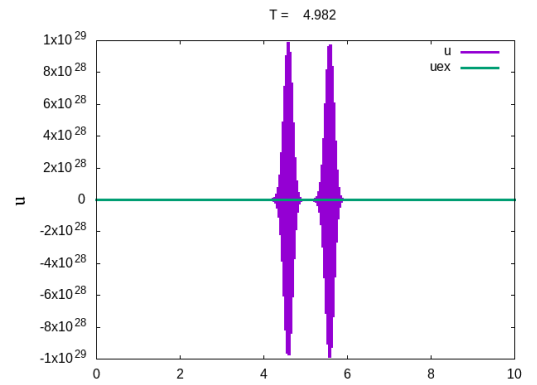
Traçons les différents graphiques :

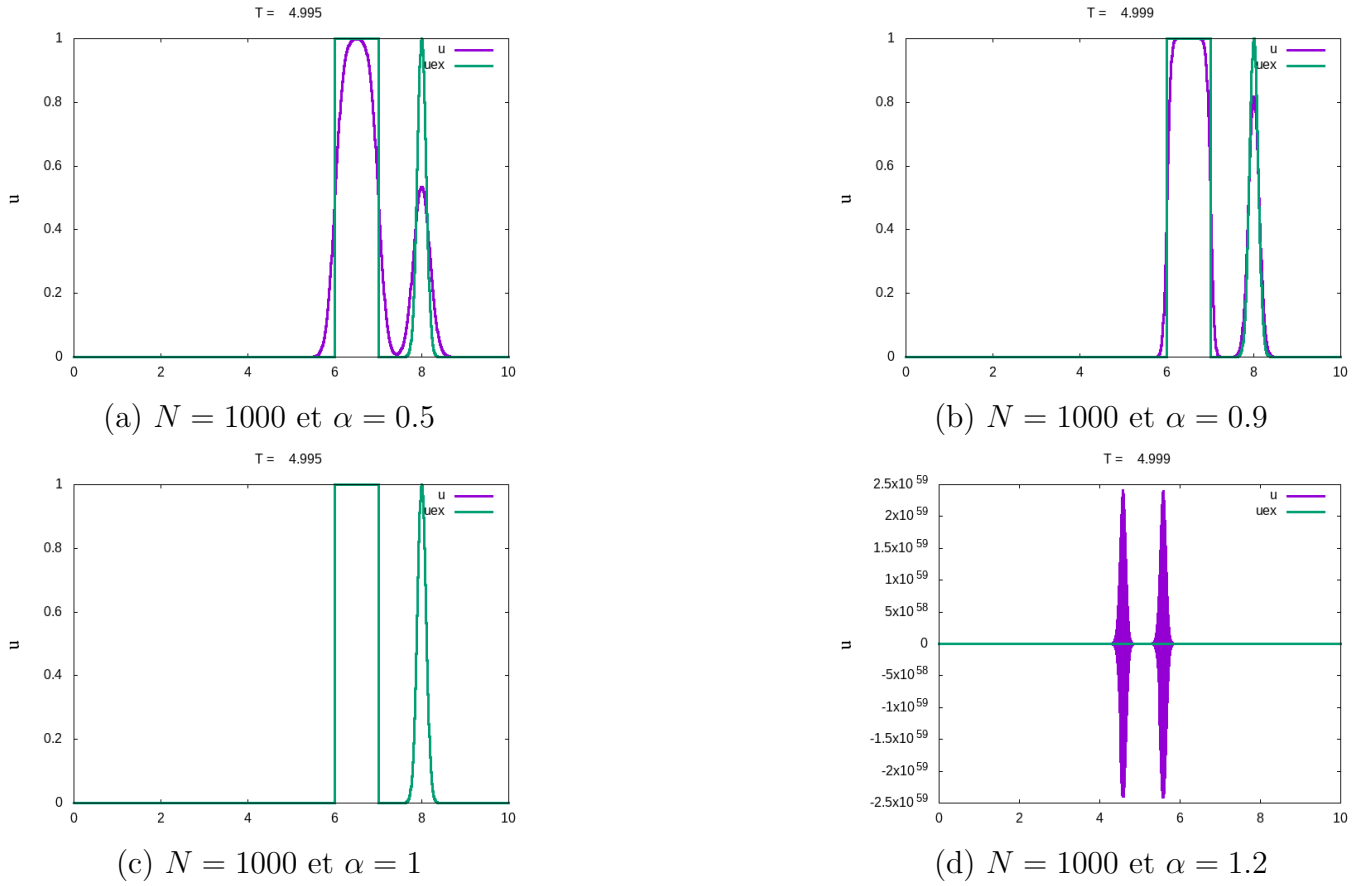


(a)  $N = 100$  et  $\alpha = 0.5$



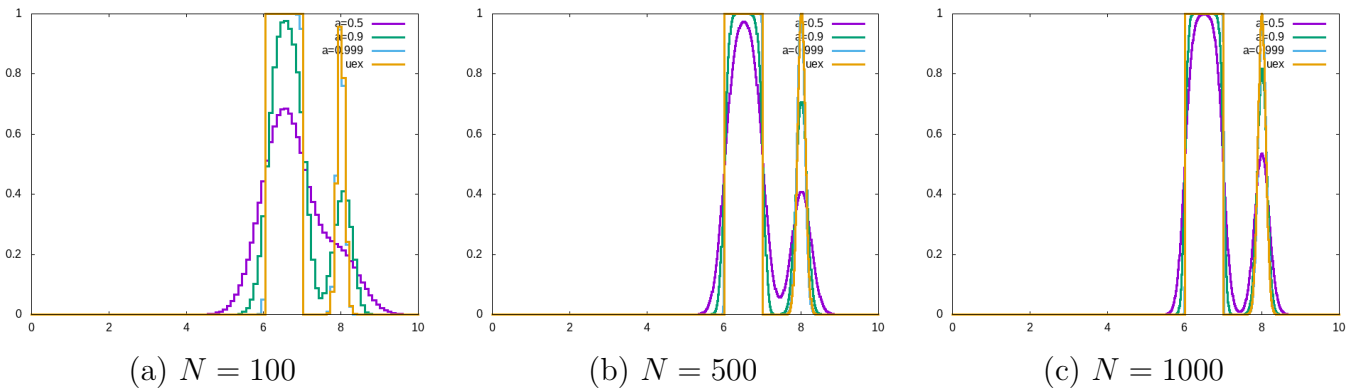
(b)  $N = 100$  et  $\alpha = 0.9$

(c)  $N = 100$  et  $\alpha = 1$ (d)  $N = 100$  et  $\alpha = 1.2$ FIGURE 8 – Solutions numériques du schéma explicite décentré amont pour  $N = 100$ (a)  $N = 500$  et  $\alpha = 0.5$ (b)  $N = 500$  et  $\alpha = 0.9$ (c)  $N = 500$  et  $\alpha = 1$ (d)  $N = 500$  et  $\alpha = 1.2$ FIGURE 9 – Solutions numériques du schéma explicite décentré amont pour  $N = 500$

FIGURE 10 – Solutions numériques du schéma explicite décentré amont pour  $N = 1000$ 

On remarque que ce schéma est stable quelque soit le  $N$  et si  $\alpha$  tend vers 1. Par contre, si  $\alpha > 1$ , le schéma devient instable.

Cette fois, nous avons tracé un schéma avec différents  $\alpha$  compris entre 0 et 1, afin de vérifier ce que l'on a trouvé précédemment :

FIGURE 11 – Solutions numériques du schéma explicite décentré amont pour  $\alpha < 1$  et pour différents  $N$

**Conclusion 7** *D'après le théorème 3, le schéma numérique décentré amont converge pour  $\alpha < 1$ .*

## 6. Étude du schéma "leap frog"

Ce schéma est un schéma numérique dit "leap frog" qui s'écrit de la forme suivante :

$$\frac{u_i^{n+1} - u_i^{n-1}}{2\delta t} + c \frac{u_{i+1}^n - u_{i-1}^n}{2\delta x} = 0 \quad (\text{S4})$$

### 6.1. Étude analytique du schéma S4

#### 6.1.1. Erreur de consistance

Soit  $u$  la solution régulière de l'équation de transport. On pose  $u_i^n = u(x_i, t_n)$ . Comme vu précédemment, on note  $\epsilon(\delta x, \delta t)$ , l'erreur de troncature :

$$\epsilon(\delta x, \delta t) = \frac{\overline{u_i^{n+1}} - \overline{u_i^{n-1}}}{2\delta t} + c \frac{\overline{u_{i+1}^n} - \overline{u_{i-1}^n}}{2\delta x} \quad (12)$$

On effectue les développements limités de Taylor correspondants et on obtient :

$$\begin{aligned} u_i^{n+1} &= u(x_i, t_{n+1}) = u_i^n + \delta t (u_t)_i^n + \frac{\delta t^2}{2} (u_{tt})_i^n + \frac{\delta t^3}{6} (u_{ttt})_i^n + \mathcal{O}(\delta t^4) \\ u_i^{n-1} &= u(x_i, t_{n-1}) = u_i^n - \delta t (u_t)_i^n + \frac{\delta t^2}{2} (u_{tt})_i^n - \frac{\delta t^3}{6} (u_{ttt})_i^n + \mathcal{O}(\delta t^4) \\ u_{i+1}^n &= u(x_{i+1}, t_n) = u_i^n + \delta x (u_x)_i^n + \frac{\delta x^2}{2} (u_{xx})_i^n + \frac{\delta x^3}{6} (u_{xxx})_i^n + \mathcal{O}(\delta x^4) \\ u_{i-1}^n &= u(x_{i-1}, t_n) = u_i^n - \delta x (u_x)_i^n + \frac{\delta x^2}{2} (u_{xx})_i^n - \frac{\delta x^3}{6} (u_{xxx})_i^n + \mathcal{O}(\delta x^4) \end{aligned}$$

Afin de pouvoir remplacer ces expressions dans l'équation, on a :

$$\frac{u_i^{n+1} - u_i^{n-1}}{2\delta t} = (u_t)_i^n + \frac{\delta t^2}{6} (u_{ttt})_i^n + \mathcal{O}(\delta t^3) \quad (\text{g})$$



$$\frac{u_{i+1}^n - u_{i-1}^n}{2\delta x} = (u_x)_i^n + \frac{\delta x^2}{6} (u_{xxx})_i^n + \mathcal{O}(\delta x^3) \quad (\text{h})$$

En remplaçant dans ??, on obtient :

$$\epsilon(\delta x, \delta t) = \overline{(u_t)_i^n} + c \overline{(u_x)_i^n} + \frac{\delta t^2}{6} \overline{(u_{ttt})_i^n} + c \frac{\delta x^2}{6} \overline{(u_{xxx})_i^n} + \mathcal{O}(\delta t^3, \delta x^3) \quad (12\text{bis})$$

Par conséquent, on a bien :

$$\lim_{(\delta t, \delta x) \rightarrow (0,0)} \epsilon(\delta t, \delta x) = 0$$

**Conclusion 8** *Le schéma S4 est alors consistant à l'ordre 2 en temps et 2 en espace.*

### 6.1.2. Stabilité

À l'aide de la remarque 2, on peut simplifier l'équation (12bis) :

$$u_t + c u_x - c^3 \frac{\delta t^2}{6} u_{xxx} + c \frac{\delta x^2}{6} u_{xxx} = 0$$

On en déduit que le schéma est instable car, comme dans le schéma numérique explicite centré (S4), le coefficient porté par l'opérateur est un coefficient de dispersion numérique car le terme prépondérant est d'ordre impair.

Pour trouver la stabilité du schéma (S4), il faut faire l'analyse de Fourier.

Pour cela, réécrivons (S4) en remplaçant  $u_i^n$  par  $\hat{u}^n(k)$ . Ainsi, on a :

$$\begin{aligned} & \frac{\hat{u}^{n+1}(k) - \hat{u}^{n-1}(k)}{2\delta t} + c \frac{\hat{u}^n(k)(e^{2I\pi k\delta x} - e^{-2I\pi k\delta x})}{2\delta x} = 0 \\ \iff & \hat{u}^{n+1}(k) - c \frac{\delta t}{\delta x} (e^{2I\pi k\delta x} - e^{-2I\pi k\delta x}) \hat{u}^n(k) + \hat{u}^{n-1}(k) = 0 \end{aligned}$$

Or,  $e^{2I\pi k\delta x} - e^{-2I\pi k\delta x} = 2I \sin(2\pi k\delta x)$ .

On peut poser  $\hat{u}^n(k) = r$ , et ainsi, on a :

$$r^2 - c \frac{\delta t}{\delta x} 2I \sin(2\pi k\delta x) r + 1 = 0$$

En calculant les racines de l'équation, on doit montrer ensuite que ces racines sont inférieures à 1 pour que le schéma soit stable.

**Conclusion 9** *Le schéma est instable  $\forall c, \forall \delta t > 0$ .*

L'étude numérique de ce schéma n'a pas été faite.

## 7. Étude du schéma numérique S5

Ce schéma est un schéma numérique avec  $\lambda = c \frac{\delta t}{\delta x}$  qui s'écrit de la forme suivante :

$$u_i^{n+1} = u_i^n - \frac{\lambda}{2} (u_{i+1}^n - u_{i-1}^n) + \frac{\lambda^2}{2} (u_{i+1}^n - 2u_i^n + u_{i-1}^n) \quad (\text{S5})$$

Mais, en remplaçant  $\lambda$ , on a :

$$\frac{u_i^{n+1} - u_i^n}{\delta t} + \frac{c}{2\delta x} (u_{i+1}^n - u_{i-1}^n) - c^2 \frac{\delta t}{2\delta x^2} (u_{i+1}^n - 2u_i^n + u_{i-1}^n) = 0 \quad (\text{S5bis})$$

### 7.1. Étude analytique du schéma S5

#### 7.1.1. Erreur de consistance

Soit  $u$  la solution régulière de l'équation de transport. On pose  $u_i^n = u(x_i, t_n)$ . Comme vu précédemment, on note  $\epsilon(\delta x, \delta t)$ , l'erreur de troncature :

$$\epsilon(\delta x, \delta t) = \frac{\overline{u_i^{n+1}} - \overline{u_i^n}}{\delta t} + \frac{c}{2\delta x} (\overline{u_{i+1}^n} - \overline{u_{i-1}^n}) - c^2 \frac{\delta t}{2\delta x^2} (\overline{u_{i+1}^n} - 2\overline{u_i^n} + \overline{u_{i-1}^n}) \quad (13)$$

On effectue les développements limités de Taylor correspondants comme pour le schéma numérique "leap frog" (S4) et on obtient, afin de pouvoir remplacer dans l'équation :

$$\frac{u_i^{n+1} - u_i^n}{\delta t} = (u_t)_i^n + \frac{\delta t}{2} (u_{tt})_i^n + \mathcal{O}(\delta t^3) \quad (\text{i})$$

$$u_{i+1}^n - u_{i-1}^n = 2\delta x (u_x)_i^n + \frac{2\delta x^3}{6} (u_{xxx})_i^n + \mathcal{O}(\delta x^4) \quad (\text{j})$$

$$u_{i+1}^n - 2u_i^n + u_{i-1}^n = \delta x^2 (u_{xx})_i^n + \mathcal{O}(\delta x^4) \quad (\text{k})$$

En remplaçant dans (13), on obtient :

$$\epsilon(\delta x, \delta t) = \overline{(u_t)_i^n} + \frac{\delta t}{2} \overline{(u_{tt})_i^n} + c \overline{(u_x)_i^n} + c \frac{\delta x^2}{6} \overline{(u_{xxx})_i^n} - c^2 \frac{\delta t}{2} \overline{(u_{xx})_i^n} + \mathcal{O}(\delta t^2, \delta x^3) \quad (13\text{bis})$$

Par conséquent, on a bien :

$$\lim_{(\delta t, \delta x) \rightarrow (0,0)} \epsilon(\delta t, \delta x) = 0$$

**Conclusion 10** *Le schéma S5 est alors consistant à l'ordre 1 en temps et 2 en espace.*

### 7.1.2. Stabilité

À l'aide de la remarque 2, on peut simplifier l'équation (13bis) :

$$u_t + c u_x + c^2 \frac{\delta t}{2} u_{xx} + c \frac{\delta x^2}{6} u_{xxx} - c^2 \frac{\delta t}{2} u_{xx} = 0$$

Donc, il reste :

$$u_t + c u_x + c \frac{\delta x^2}{6} u_{xxx} = 0$$

Ainsi, on en déduit le coefficient de viscosité :

$$\nu = c \frac{\delta x^2}{6}$$

Comme le schéma numérique (S4), le coefficient  $\nu$  est un coefficient de dispersion numérique car le terme prépondérant est d'ordre impair. Par conséquent, le schéma (S5) est  $L^\infty$  instable.

Démontrons la stabilité avec Fourier. Pour cela, réécrivons (S5) en remplaçant  $u_i^n$  par  $\hat{u}^n(k)$ . Ainsi, on a :

$$\hat{u}^{n+1}(k) = \underbrace{1 - \frac{\lambda}{2}(e^{2I\pi k\delta x} - e^{-2I\pi k\delta x}) + \frac{\lambda^2}{2}(e^{2I\pi k\delta x} - 2 + e^{-2I\pi k\delta x})}_{A(k)} \hat{u}^n(k)$$

Or,  $e^{2I\pi k\delta x} - e^{-2I\pi k\delta x} = 2I \sin(2\pi k\delta x)$  et  $e^{2I\pi k\delta x} + e^{-2I\pi k\delta x} = 2 \cos(2\pi k\delta x)$

Ainsi,

$$A(k) = 1 - \lambda I \sin(2\pi k\delta x) + \lambda^2(\cos(2\pi k\delta x) - 1)$$

Si  $|A(k)| < 1$ , alors le schéma sera stable  $L^2$ . Donc, on a :

$$\sqrt{(1 + \lambda^2(\cos(2\pi k\delta x) - 1))^2 + \lambda^2 \sin^2(2\pi k\delta x)} < 1$$

Ainsi, on peut déterminer deux cas pour la stabilité  $L^2$  :

Cas 1 :

Si  $|\lambda = c \frac{\delta t}{\delta x}| > 1$ , alors le schéma sera  $L^2$ -instable.

Cas 2 :

$|\lambda = c \frac{\delta t}{\delta x}| \leq 1$ , alors le schéma sera  $L^2$ -stable.

**Conclusion 11** *Le schéma (S5) est  $L^\infty$  instable.*

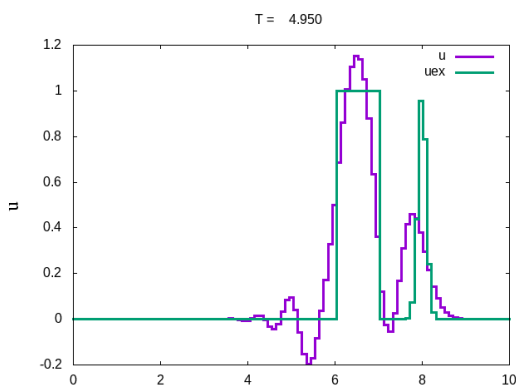
*Pour  $|\lambda| > 1$ , il est  $L^2$ -instable.*

*Pour  $|\lambda| \leq 1$ , il est  $L^2$ -stable.*

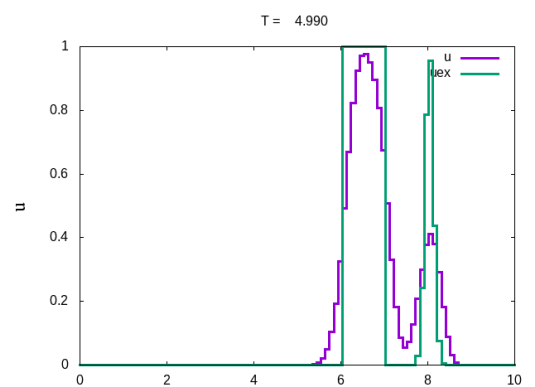
## 7.2. Étude numérique

### 7.2.1 Donnée initiale discontinue avec $c=1$

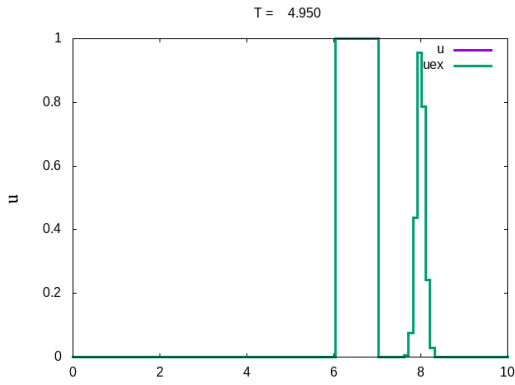
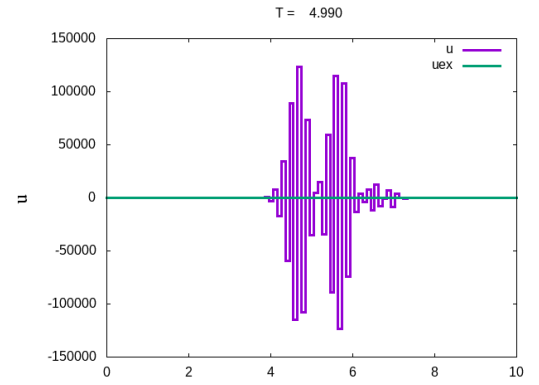
On trace pour  $N = 100$  :



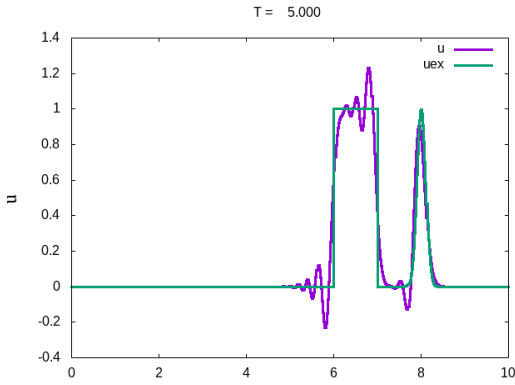
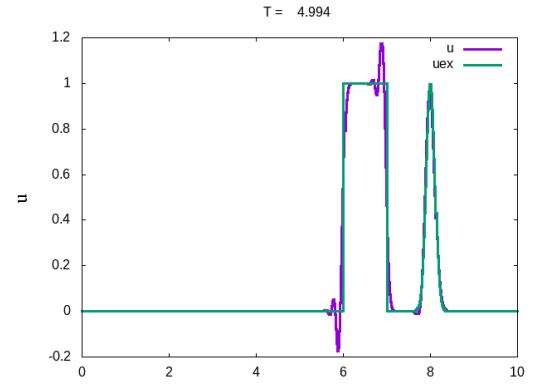
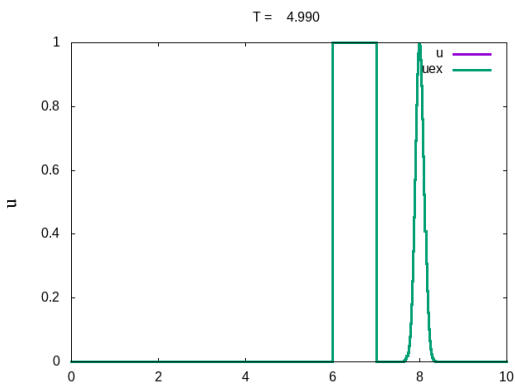
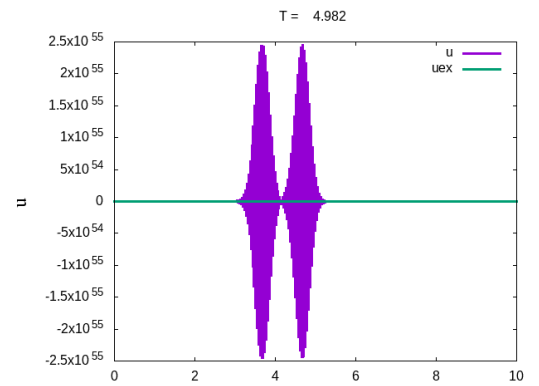
(a)  $N = 100$  et  $\alpha = 0.5$

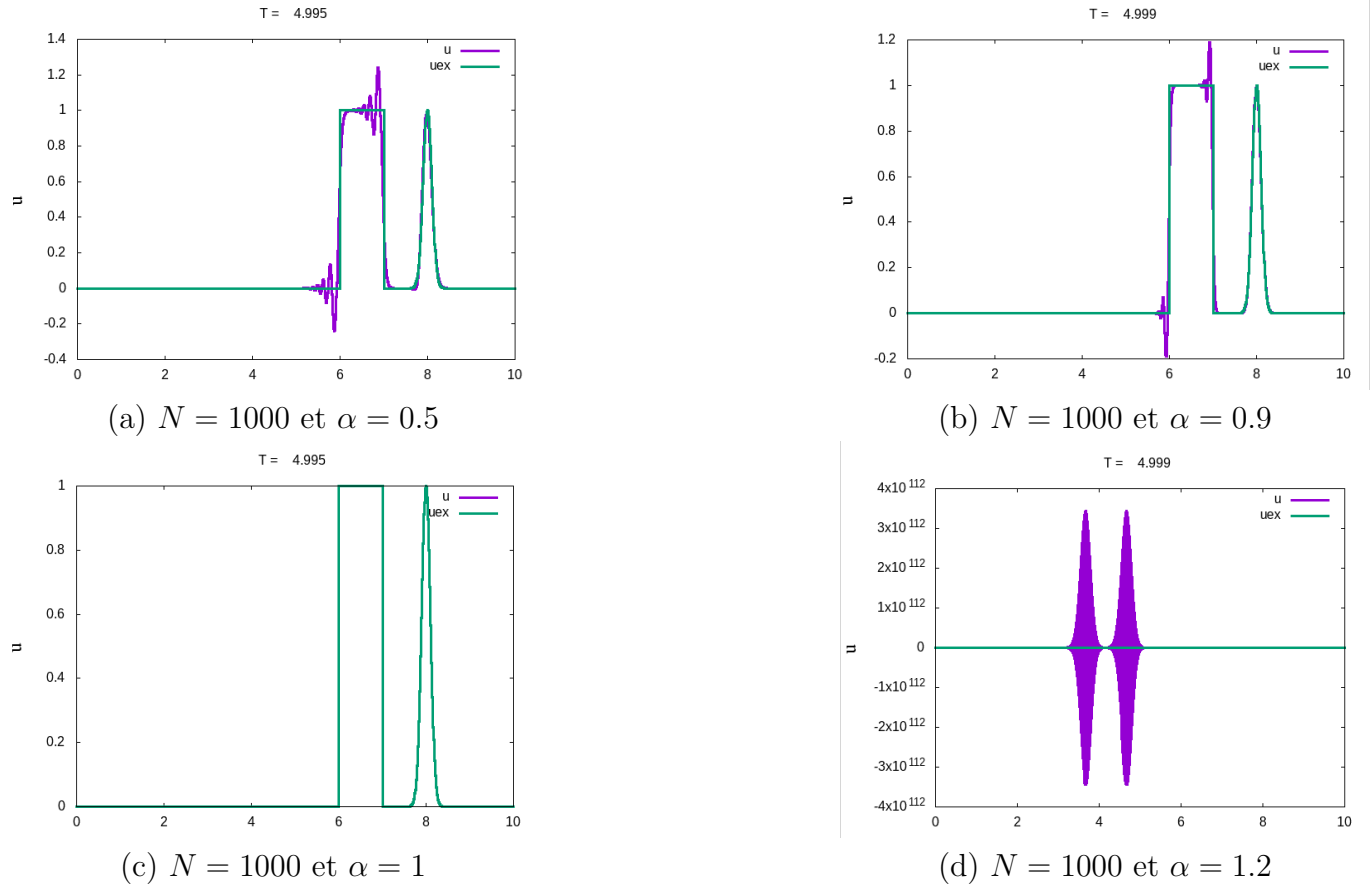


(b)  $N = 100$  et  $\alpha = 0.9$

(c)  $N = 100$  et  $\alpha = 1$ (d)  $N = 100$  et  $\alpha = 1.2$ FIGURE 12 – Solutions numériques du schéma explicite (S5) pour  $N = 100$ 

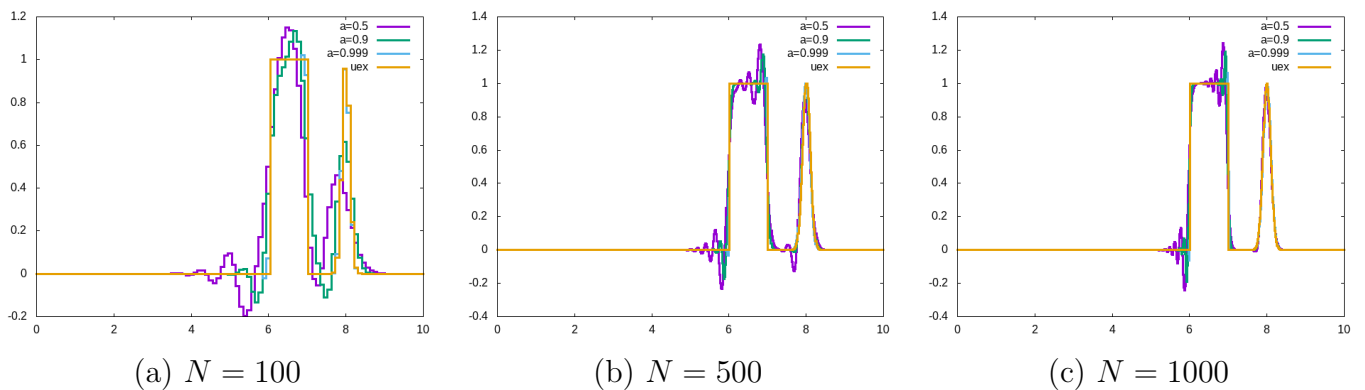
De même, on trace les graphiques pour  $N = 500$ , puis  $N = 1000$  :

(a)  $N = 500$  et  $\alpha = 0.5$ (b)  $N = 500$  et  $\alpha = 0.9$ (c)  $N = 500$  et  $\alpha = 1$ (d)  $N = 500$  et  $\alpha = 1.2$ FIGURE 13 – Solutions numériques du schéma explicite (S5) pour  $N = 500$

FIGURE 14 – Solutions numériques du schéma explicite (S5) pour  $N = 1000$ 

On peut noter que pour  $N = 500$  et  $N = 1000$ , le schéma numérique a un comportement d'un schéma  $L^2$ -stable, tandis que pour  $N = 100$ , le schéma numérique a un comportement d'un schéma  $L^\infty$ -stable. Par ailleurs, on peut aussi remarquer que pour  $\alpha > 1$ , le schéma (S5) est instable.

Pour voir plus précisément la stabilité en  $L^2$  et en  $L^\infty$ , on trace les graphiques suivants :

FIGURE 15 – Solutions numériques du schéma explicite décentré amont pour  $\alpha < 1$  et pour différents  $N$

## 8. Résolution d'un cas particulier avec $c(x, t) = \cos(x)$

On considère l'équation de transport suivante :

$$\begin{cases} u_t + c u_x = 0 \text{ où } x \in \mathbb{R} \text{ et } t > 0 \\ u(0, x) = u_0(x) \in \mathbb{R} \end{cases}$$

On suppose que  $c$  est une fonction continue par rapport à  $x$  et  $t$ , et lipschitzienne par rapport à  $x$ .

Soient  $(x, t) \in \mathbb{R} \times \mathbb{R}^+$  et  $0 \leq s < t$ . On pose  $X'(s; (x, t)) = c(X(s; (x, t)), s)$  avec  $X(t; (x, t)) = x$ .

### 8.1. Solution exacte du problème de transport

On considère  $c(x, t) = \cos(x)$ . Cette fonction est continue par rapport à  $x$  et lipschitzienne par rapport à  $x$ . Donc, par le théorème de CL, pour tout couple  $(x, t)$ , il existe une unique fonction  $X$  qui vérifie le problème de Cauchy suivant :

$$\begin{cases} X'(s) = \cos(X(s)) \\ X(t) = x \end{cases} \quad (*)$$

De plus, pour alléger les notations, on écrira  $X(s)$  pour  $X(s; (x, t))$ .

Ainsi (\*) devient :

$$\frac{X'(s)}{\cos(X(s))} = 1$$

Donc en intégrant, on a :

$$\int \frac{X'(s)}{\cos(X(s))} ds = \int ds \iff \int X'(s) \sec(X(s)) ds = s + K$$

avec  $K$ , une constante et  $\frac{1}{\cos(X(s))} = \sec(X(s))$ .

Posons,  $u = X(s)$  et  $du = X'(s)ds$ .

Ainsi, on a :

$$\int X'(s) \sec(X(s)) ds = s + K \iff \int \sec(u) du = s + K$$

Multiplions le numérateur et le dénominateur par  $\sec(u) + \tan(u)$  :

$$\int \frac{\sec^2(u) + \sec(u) \tan(u)}{\sec(u) + \tan(u)} du = s + K \iff \int \frac{1}{y} dy = s + K$$

en posant  $y = \sec(u) + \tan(u)$ .

On obtient donc :

$$\begin{aligned} \ln(\tan(u) + \sec(u)) = s + K &\iff \ln\left(\frac{1 + \sin(u)}{\cos(u)}\right) = s + K \\ &\iff \ln\left(\frac{\sin(\frac{u}{2}) + \cos(\frac{u}{2})}{\cos^2(\frac{u}{2}) - \sin^2(\frac{u}{2})}\right) = s + K \\ &\iff \ln\left(\frac{\sin(\frac{u}{2}) + \cos(\frac{u}{2})}{\cos(\frac{u}{2}) - \sin(\frac{u}{2})}\right) = s + K \\ &\iff \ln\left(\frac{1 + \frac{\sin(\frac{u}{2})}{\cos(\frac{u}{2})}}{1 - \frac{\sin(\frac{u}{2})}{\cos(\frac{u}{2})}}\right) = s + K \\ &\iff 2 \tanh^{-1}\left(\tan\left(\frac{X(s)}{2}\right)\right) = s + K \\ &\iff X(s) = 2 \tan^{-1}\left(\tanh\left(\frac{1}{2}(s + K)\right)\right) \end{aligned}$$

Or,  $X(t) = x$ . Ainsi :

$$X(t) = x = 2 \tan^{-1}\left(\tanh\left(\frac{1}{2}(t + K)\right)\right) \iff K = 2 \tanh^{-1}\left(\tan\left(\frac{x}{2}\right)\right) - t$$

Finalement, on obtient :

$$X(s) = 2 \tan^{-1}\left(\tanh\left(\frac{1}{2}(s - t + 2 \tanh^{-1}(\tan(\frac{x}{2})))\right)\right) \quad (14)$$



Par conséquent, on a :

$$u(X(0), 0) = u_0(2 \tan^{-1}(\tanh(\frac{1}{2}(2 \tanh^{-1}(\tan(\frac{x}{2})) - t))))$$

## 8.2. Solution quasi-exacte

Cherchons la solution quasi-analytique de notre problème de Cauchy avec la méthode d'Euler implicite. Soit la subdivision  $s_k = k\delta s$  avec  $\delta s = \frac{t}{M}$  avec  $M \in \mathbb{N}$ .

On sait que :

$$\begin{aligned} x'(t) = f(t, x(t)) &\iff \int_{t_n}^{t_{n+1}} x'(t) = \int_{t_n}^{t_{n+1}} f(t, x(t)) \\ &\iff x(t_{n+1}) - x(t_n) = \delta t f(t_{n+1}, x(t_{n+1})) \\ &\iff x_{n+1} = x_n + \delta t f(t_{n+1}, x_{n+1}) \\ &\iff x_{n+1} = x_n + \delta t \cos(x_{n+1}) \end{aligned}$$

Donc, en prenant les notations dans notre exercice, on a :

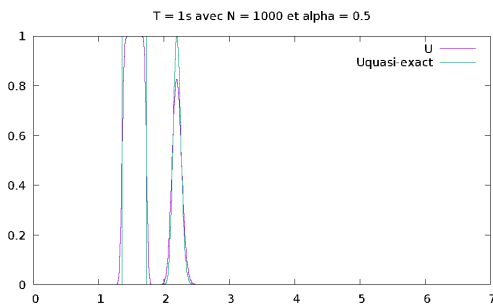
$$X_{k+1} = X_k + \delta s \cos(X_{k+1}) \iff X_k = X_{k+1} - \delta s \cos(X_{k+1})$$

Avec la condition initiale précédente, on peut trouver  $X_0$  et ainsi, déterminer la solution quasi-exacte avec  $u_0(X(0))$ .

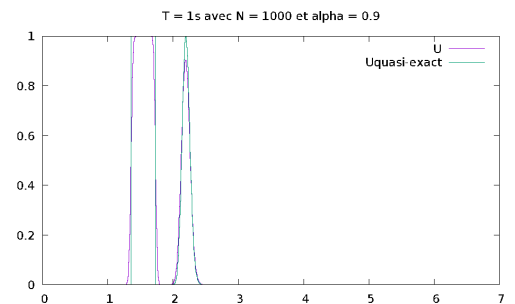
## 8.3. Construction d'un schéma stable

Tout d'abord, nous allons construire un schéma stable à partir du schéma (S1) et du schéma (S3). D'après la partie théorique de ces schémas, nous avons vu que le schéma numérique décentré en amont convergeait si  $c > 0$  et que le schéma numérique décentré en aval convergeait si  $c < 0$ .

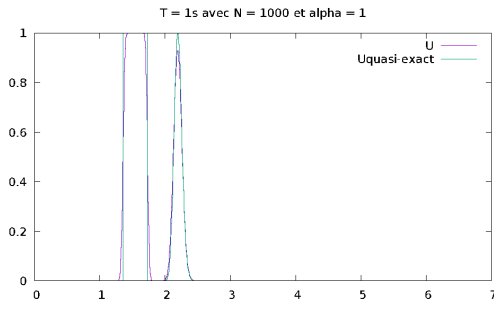
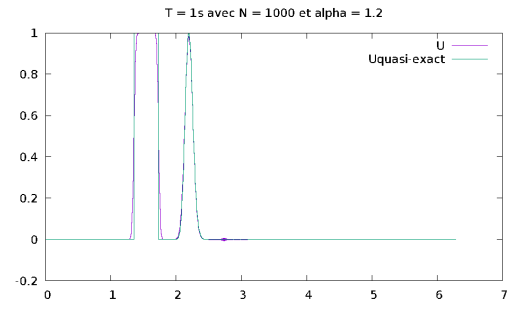
Ainsi, nous avons pu tracer les graphiques suivants :



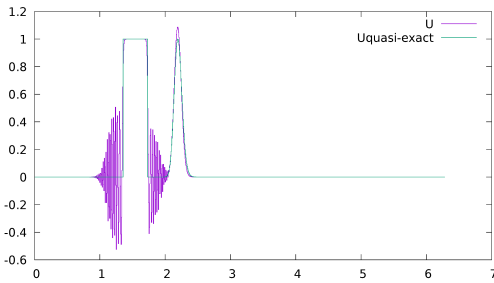
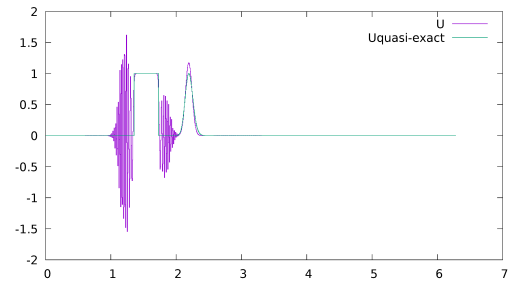
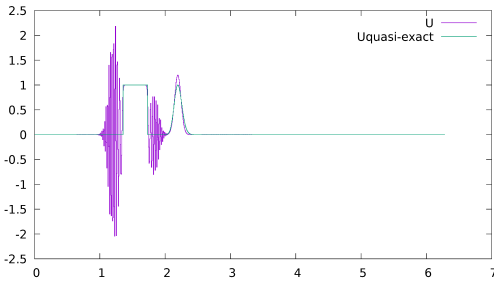
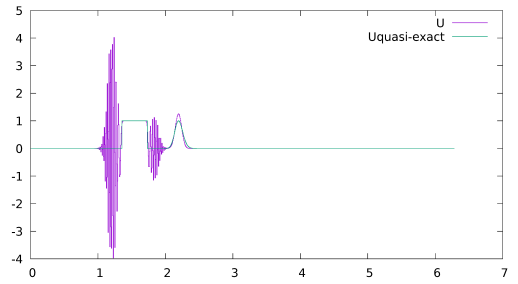
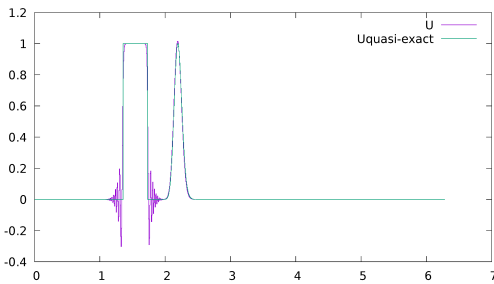
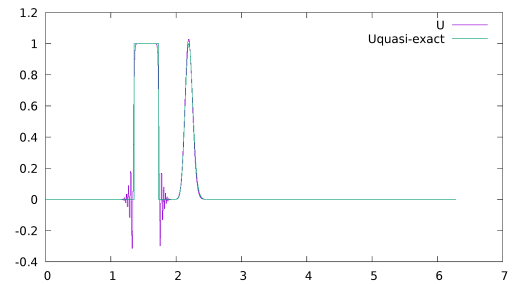
(a)  $N = 1000$  et  $\alpha = 0.5$

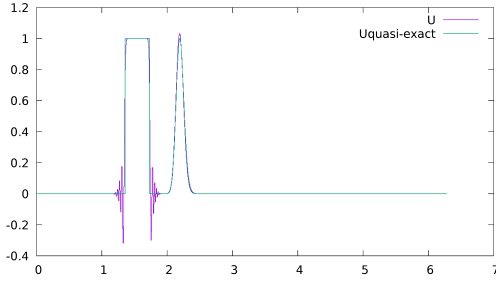
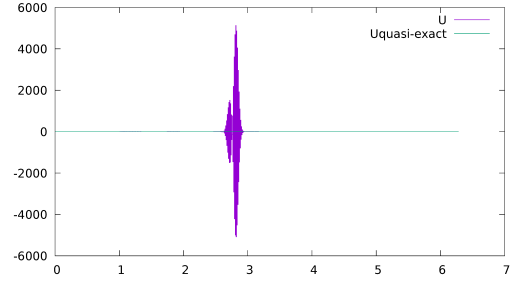
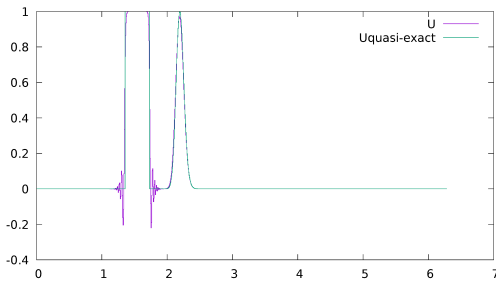
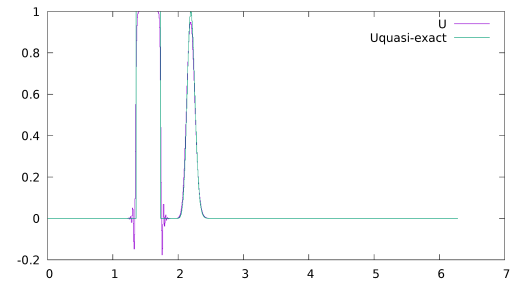
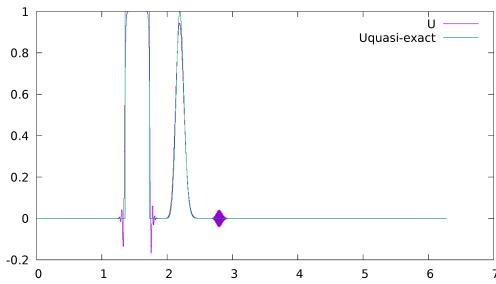
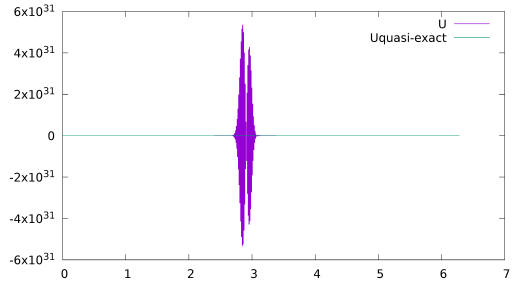


(b)  $N = 1000$  et  $\alpha = 0.9$

(c)  $N = 1000$  et  $\alpha = 1$ (d)  $N = 1000$  et  $\alpha = 1.2$ FIGURE 16 – Solutions numériques du schéma explicite avec (S1) et (S3) pour  $N = 1000$ 

Comparons ces solutions avec le schéma explicite (S5). On trace ainsi les graphiques suivants en faisant varier  $\lambda$  :

(a)  $N = 1000$  et  $\alpha = 0.5$ (b)  $N = 1000$  et  $\alpha = 0.9$ (c)  $N = 1000$  et  $\alpha = 1$ (d)  $N = 1000$  et  $\alpha = 1.2$ FIGURE 17 – Solutions numériques du schéma explicite avec (S5) pour  $N = 1000$  et  $\lambda = 0.5$ (a)  $N = 1000$  et  $\alpha = 0.5$ (b)  $N = 1000$  et  $\alpha = 0.9$

(c)  $N = 1000$  et  $\alpha = 1$ (d)  $N = 1000$  et  $\alpha = 1.2$ FIGURE 18 – Solutions numériques du schéma explicite avec (S5) pour  $N = 1000$  et  $\lambda = 0.9$ (a)  $N = 1000$  et  $\alpha = 0.5$ (b)  $N = 1000$  et  $\alpha = 0.9$ (c)  $N = 1000$  et  $\alpha = 1$ (d)  $N = 1000$  et  $\alpha = 1.2$ FIGURE 19 – Solutions numériques du schéma explicite avec (S5) pour  $N = 1000$  et  $\lambda = 1.2$ 

On remarque qu'avec (S1) et (S3), le schéma converge vers la solution exacte pour tout  $\alpha$ . D'autre part, avec (S5), on peut noter que le schéma est  $L^2$ -stable comme ce dernier.

De plus, pour tous les schémas avec (S5), il y a divergence si  $\alpha > 1$ . On remarque aussi que plus  $\lambda$  se rapproche de 1, plus le schéma est stable. Aussi, plus la valeur de  $\lambda$  augmente, plus  $\alpha$  doit être petit afin que le schéma soit stable.

Enfin, pour avoir un schéma convergent optimal, il faut que  $\alpha = 1$  et  $\lambda = 1$ .

## Conclusion

Ainsi, grâce à cette étude sur la méthode des différences finies, nous avons pu constater que son utilisation pouvait être profitable mais dans certains cas, celle-ci n'était pas adaptée. Par exemple, pour le schéma (S1), celle-ci converge uniquement avec une donnée initiale discontinue et avec  $c < 0$ . Cela signifie donc que des conditions doivent être auparavant définies afin d'assurer la convergence. Ensuite, lors de l'analyse numérique, nous avons mis en lumière l'importance des facteurs  $\alpha$  et  $N$  qui devaient être choisis astucieusement pour assurer la convergence. Nous pouvons alors dire que la méthode des différences finies est une méthode très puissante de résolution d'équations aux dérivées partielles mais qui n'offrira pas une précision satisfaisante. Dans le cas d'un problème plus complexe, il serait intéressant d'étudier la méthode des éléments finis qui offre de meilleurs résultats.

## Annexes

Code Fortran du fichier 'fcts.f' pour la partie du cas général :

```

1  ccccccccccccccccccccccccccccccccccccccccccccccccccccccccccc
2      FUNCTION u0(x)
3
4      IMPLICIT NONE
5
6      DOUBLE PRECISION u0,x
7
8
9      u0=0.0d0
10
11     if ((x.gt.1.).and.(x.lt.2.)) u0=1.
12
13     u0=u0+dexp(-50*(x-3.)**2)
14
15     RETURN
16
17     END
18
19 ccccccccccccccccccccccccccccccccccccccccccccccccccccccccccc
20
21     FUNCTION uex(t,x)
22
23     IMPLICIT NONE
24
25     INCLUDE 'common.inc'
26
27
28
29     DOUBLE PRECISION t,uex,x,u0
30
31     EXTERNAL U0
32
33
34
35
36     UEX = U0(X-C*T)
37
38     RETURN
39
40     END

```

Code Fortran du fichier 'main.f' pour la partie du cas général :

```
1      PROGRAM transport
2  c Resolution de l'equation de transport sur [0,L]
3  c avec des conditions aux limites periodiques
4
5      IMPLICIT NONE
6
7      INCLUDE 'common.inc'
8
9  C      Declaration
10
11     DOUBLE PRECISION deltax,deltat
12
13     DOUBLE PRECISION Tf,t,CFL,L
14
15     DOUBLE PRECISION u(1100),uold(1100)
16
17     DOUBLE PRECISION x(1100)
18
19     INTEGER CPT
20
21
22
23
24
25
26
27
28
29
30
31
32
33
34
35
36
37
38
39
40
41
42
43
44
45
46
47
48
49
50
51
52
53
54
55
56
57
58
59
60
61
62
63
64
65
66
67
68
69
70
71
72
73
74
75
76
77
78
79
80
81
82
83
84
85
86
87
88
89
90
91
92
93
94
95
96
97
98
99
100
101
102
103
104
105
106
107
108
109
110
111
112
113
114
115
116
117
118
119
120
121
122
123
124
125
126
127
128
129
130
131
132
133
134
135
136
137
138
139
140
141
142
143
144
145
146
147
148
149
150
151
152
153
154
155
156
157
158
159
160
161
162
163
164
165
166
167
168
169
170
171
172
173
174
175
176
177
178
179
180
181
182
183
184
185
186
187
188
189
190
191
192
193
194
195
196
197
198
199
200
201
202
203
204
205
206
207
208
209
210
211
212
213
214
215
216
217
218
219
220
221
222
223
224
225
226
227
228
229
230
231
232
233
234
235
236
237
238
239
240
241
242
243
244
245
246
247
248
249
250
251
252
253
254
255
256
257
258
259
260
261
262
263
264
265
266
267
268
269
270
271
272
273
274
275
276
277
278
279
280
281
282
283
284
285
286
287
288
289
290
291
292
293
294
295
296
297
298
299
300
301
302
303
304
305
306
307
308
309
310
311
312
313
314
315
316
317
318
319
320
321
322
323
324
325
326
327
328
329
330
331
332
333
334
335
336
337
338
339
340
341
342
343
344
345
346
347
348
349
350
351
352
353
354
355
356
357
358
359
360
361
362
363
364
365
366
367
368
369
370
371
372
373
374
375
376
377
378
379
380
381
382
383
384
385
386
387
388
389
390
391
392
393
394
395
396
397
398
399
400
401
402
403
404
405
406
407
408
409
410
411
412
413
414
415
416
417
418
419
420
421
422
423
424
425
426
427
428
429
430
431
432
433
434
435
436
437
438
439
440
441
442
443
444
445
446
447
448
449
450
451
452
453
454
455
456
457
458
459
460
461
462
463
464
465
466
467
468
469
470
471
472
473
474
475
476
477
478
479
480
481
482
483
484
485
486
487
488
489
490
491
492
493
494
495
496
497
498
499
500
501
502
503
504
505
506
507
508
509
510
511
512
513
514
515
516
517
518
519
520
521
522
523
524
525
526
527
528
529
530
531
532
533
534
535
536
537
538
539
540
541
542
543
544
545
546
547
548
549
550
551
552
553
554
555
556
557
558
559
560
561
562
563
564
565
566
567
568
569
570
571
572
573
574
575
576
577
578
579
580
581
582
583
584
585
586
587
588
589
590
591
592
593
594
595
596
597
598
599
600
601
602
603
604
605
606
607
608
609
610
611
612
613
614
615
616
617
618
619
620
621
622
623
624
625
626
627
628
629
630
631
632
633
634
635
636
637
638
639
640
641
642
643
644
645
646
647
648
649
650
651
652
653
654
655
656
657
658
659
660
661
662
663
664
665
666
667
668
669
670
671
672
673
674
675
676
677
678
679
680
681
682
683
684
685
686
687
688
689
690
691
692
693
694
695
696
697
698
699
700
701
702
703
704
705
706
707
708
709
710
711
712
713
714
715
716
717
718
719
720
721
722
723
724
725
726
727
728
729
730
731
732
733
734
735
736
737
738
739
740
741
742
743
744
745
746
747
748
749
750
751
752
753
754
755
756
757
758
759
760
761
762
763
764
765
766
767
768
769
770
771
772
773
774
775
776
777
778
779
780
781
782
783
784
785
786
787
788
789
790
791
792
793
794
795
796
797
798
799
800
801
802
803
804
805
806
807
808
809
810
811
812
813
814
815
816
817
818
819
820
821
822
823
824
825
826
827
828
829
830
831
832
833
834
835
836
837
838
839
840
841
842
843
844
845
846
847
848
849
850
851
852
853
854
855
856
857
858
859
860
861
862
863
864
865
866
867
868
869
870
871
872
873
874
875
876
877
878
879
880
881
882
883
884
885
886
887
888
889
890
891
892
893
894
895
896
897
898
899
900
901
902
903
904
905
906
907
908
909
910
911
912
913
914
915
916
917
918
919
920
921
922
923
924
925
926
927
928
929
930
931
932
933
934
935
936
937
938
939
940
941
942
943
944
945
946
947
948
949
950
951
952
953
954
955
956
957
958
959
960
961
962
963
964
965
966
967
968
969
970
971
972
973
974
975
976
977
978
979
980
981
982
983
984
985
986
987
988
989
990
991
992
993
994
995
996
997
998
999
1000
```

```
25      deltax = L/dble(n+1)

26

27      cpt = 0

28

29 c Initialisation

30      call init(x,uold,deltax)

31

32      DO WHILE (t .LT. Tf)

33 c Ecriture des donnees en temps dans data/tmp.numero

34      CALL ecrit(x,uold,t,cpt)

35      cpt = cpt+1

36

37 c Calcul du pas de temps

38      deltat = cfl*deltax/abs(c)

39      if (t+deltat.ge.Tf) deltat = Tf-t

40      print*, 't = ', t

41

42 c Calcul de la solution a l'instant t_{n+1}

43      CALL calcul_u(u,uold,deltax,deltat)

44

45 c Mise a jour des conditions aux limites

46 c      a l'aval

47      u(N+2) = u(N+1)

48
```





```

17      IMPLICIT NONE

18      INCLUDE 'common.inc'

19      DOUBLE PRECISION u(*),uold(*),dx,dt

20      DOUBLE PRECISION phi

21      INTEGER i

22  C

23      phi = c**2.0d0*dt/2.0d0

24      phi=1.2*phi

25      DO i=2,n+1

26          u(i)=uold(i)-(c*dt/dx)*(uold(i+1)-uold(i)) !S1

27  C u(i) = uold(i) - c*dt/(2.0d0*dx)*(uold(i+1)-uold(i-1)) !S2

28  C u(i) = uold(i)-(c*dt/dx)*(uold(i)-uold(i-1)) !S3

29  C u(i)=-(c*dt/dx)*(uold(i)-uold(i-1)) !S4

30  C u(i)=uold(i)-c*dt/(dx*2)*(uold(i+1)-uold(i-1))+

31  C & (c*dt/dx)**2/2*(uold(i+1)-2*uold(i)+uold(i-1)) !S5

32  C u(i) = u(i) + phi*(uold(i+1) - 2.0d0*uold(i)

33  C &+ uold(i-1))*dt/dx**2.0d0 !S2 modifie

34      ENDDO

35      RETURN

36      END

```

Code Fortran du fichier 'fcts.f' pour la partie du cas particulier :

```

1  ccccccccccccccccccccccccccccccccccccccccccccccccccccccc

2      FUNCTION u0(x)

3      IMPLICIT NONE

```

```

4      DOUBLE PRECISION u0 , x

5

6      u0=0.0d0

7      if ((x.gt.1.).and.(x.lt.2.)) u0=1.

8      u0=u0+dexp(-50*(x-3.)**2) ! on ajoute la gaussienne

9      RETURN

10     END

11  CCCCCCCCCCCCCCCCCCCCCCCCCCCCCCCCCCCCCCCCCCCCCCCCCCCCCC

12     FUNCTION uex(t,x)

13     IMPLICIT NONE

14     INCLUDE 'common.inc'

15

16     DOUBLE PRECISION t,uex,GX(100),u0,ds,x

17     INTEGER k,M

18     EXTERNAL U0

19

20     ds=t/100

21     GX(100)=x

22     DO k=99,1,-1

23         GX(k)=GX(k+1)-ds*dcos(GX(k+1))

24     ENDDO

25

26     UEX = U0(GX(1))

27     RETURN

```

28           END

Code Fortran du fichier 'main.f' pour la partie du cas particulier :

```
1           PROGRAM transport
2   C Resolution de l'equation de transport sur [0,L]
3   C avec des conditions aux limites periodiques
4
5           IMPLICIT NONE
6
7   INCLUDE 'common.inc'
8
9   C Declaration
10
11   DOUBLE PRECISION deltax,deltat
12
13   DOUBLE PRECISION Tf,t,CFL,L
14
15   DOUBLE PRECISION u(1100),uold(1100)
16
17   DOUBLE PRECISION x(1100)
18
19   INTEGER CPT
20
21
22           open(1,file='trace.plt')
23
24   C UNE FOIS LE CALCUL TERMINE, LANCER GNUPLOT PUIS LA COMMANDE
25
26   C load 'trace.plt' pour visualiser la solution en temps
27
28
29
30
31           t = 0.0d0
32
33           Tf= 5.0d0
34
35           c = 1.0d0
36
37
38
39
40           n = 500
```

```
23      cfl = 0.9d0

24      L = 10.0d0

25      deltax = L/dble(n+1)

26

27      cpt = 0

28

29  c Initialisation

30      call init(x,uold,deltax)

31

32      DO WHILE (t .LT. Tf)

33  c Ecriture des donnees en temps dans data/tmp.numero

34          CALL escrit(x,uold,t,cpt)

35          cpt = cpt+1

36

37  c Calcul du pas de temps

38          deltat = cfl*deltax/abs(c)

39          if (t+deltat.ge.Tf) deltat = Tf-t

40          t =t + deltat

41          print*, 't = ', t

42

43  c Calcul de la solution a l'instant t_{n+1}

44          CALL calcul_u(u,uold,deltax,deltat,x)

45

46  c Mise a jour des conditions aux limites
```

```

47 c          a l'aval
48          u(N+2) = u(N+1)
49
50 c MAJ de uold
51          uold = u
52
53          ENDDO
54
55          close(1)
56
57          stop 'Execution avec succes!!!'
58
59          end program

```

Code Fortran du fichier 'subrouts.f' pour la partie du cas particulier :

```

1      SUBROUTINE  init(x,u,dx)
2
3      IMPLICIT NONE
4
5      INCLUDE  'common.inc'
6
7      DOUBLE PRECISION x(*),u(*),dx
8
9      INTEGER i
10
11     DOUBLE PRECISION U0
12
13     EXTERNAL U0
14
15 c
16
17     DO i=1,n+2
18
19         x(i)=(i-1.0d0)*dx
20
21         u(i)=u0(x(i))
22
23     ENDDO
24
25     RETURN

```

```

14      END

15      CCCCCCCCCCCCCCCCCCCCCCCCCCCCCCCCCCCCCCCCCCCCCCCCCCCCCC

16      SUBROUTINE  calcul_u(u,uold,dx,dt,x)

17      IMPLICIT NONE

18      INCLUDE  'common.inc'

19      DOUBLE PRECISION u(*),uold(*),dx,dt,x(*),tmp

20      DOUBLE PRECISION phi

21      INTEGER i

22      phi = c**2.0d0*dt/2.0d0

23      phi=1.2*phi

24      DO i=2,n+1

25          c=cos(x(i))

26      C          if (c>0) then

27      C              tmp = uold(i)-uold(i-1)

28      C          else

29      C              tmp = uold(i+1)-uold(i)

30      C          endif

31      C          u(i) = uold(i) - c*dt/dx*tmp

32          u(i)=uold(i)-c*dt/(dx*2)*(uold(i+1)-uold(i-1))

33      &+(c*dt/dx)**2/2*(uold(i+1)-2*uold(i)+uold(i-1))

34      ENDDO

35      RETURN

36      END
  
```

## Bibliographie

- [1] Mehmet Ersoy [http ://ersoy.univ-tln.fr](http://ersoy.univ-tln.fr)